

VIŠOKA ŠKOLA ELEKTROTEHNIKE I RAČUNARSTVA STRUKOVNIH STUDIJA-  
VIŠER, BEOGRAD

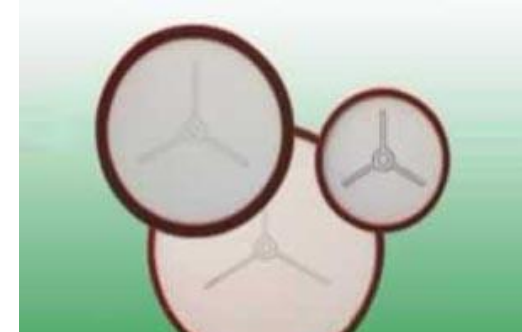
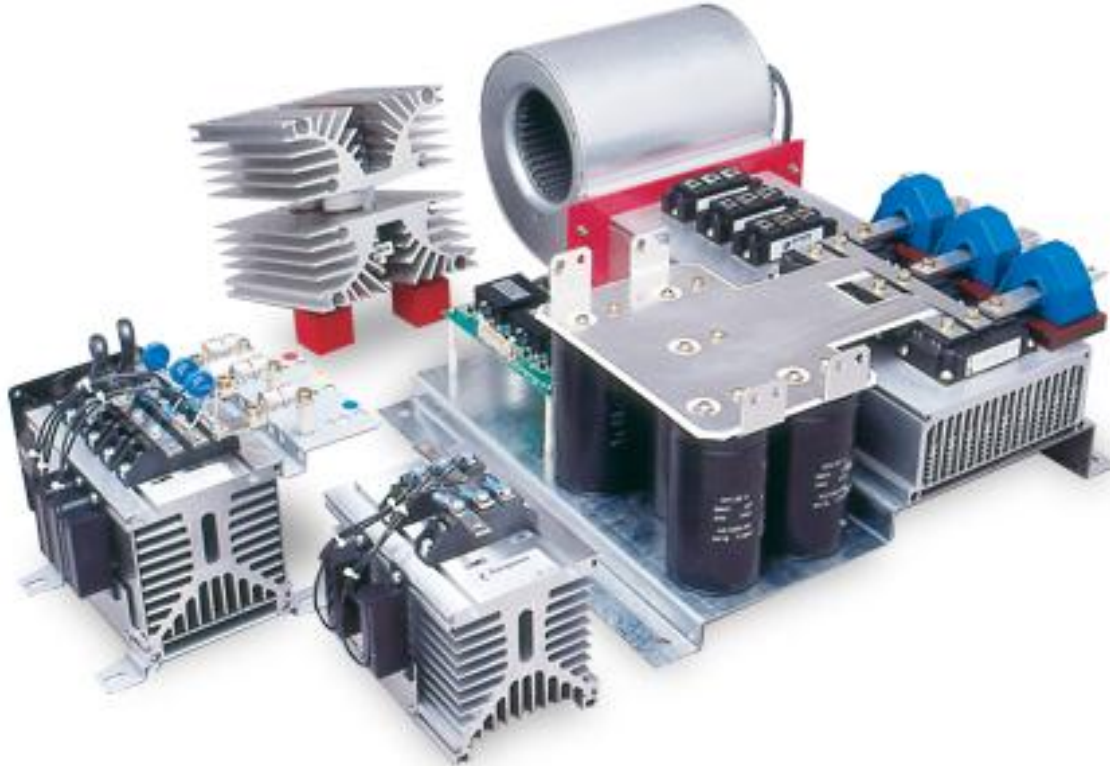
STUDIJSKI PROGRAM: Elektrotehničko inženjerstvo

MASTER STUDIJE 2017/2018

PREDMET : PROJEKTOVANJE ELEKTROENERGETSKIH PRETVARAČA



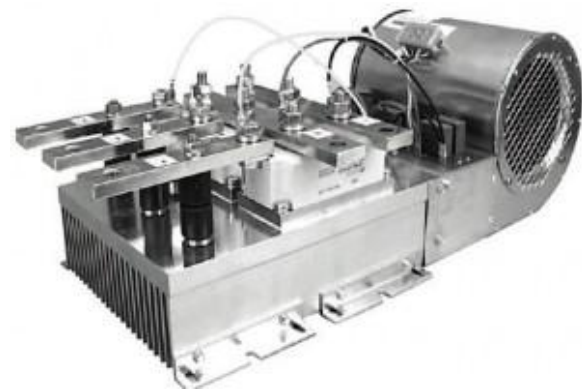
# FORSIRANO VAZDUŠNO HLAĐENJE ENERGETSKIH PRETVARAČKIH MODULA KROZ PRAKTIČNE PRIMERE



Predmetni profesor: Dr Željko Despotović, dipl.el.inž

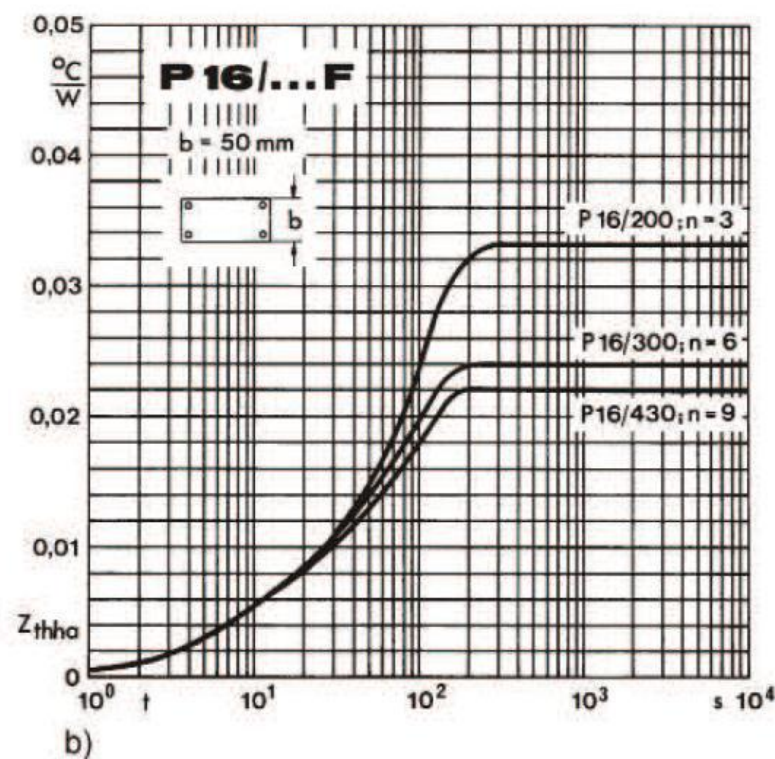
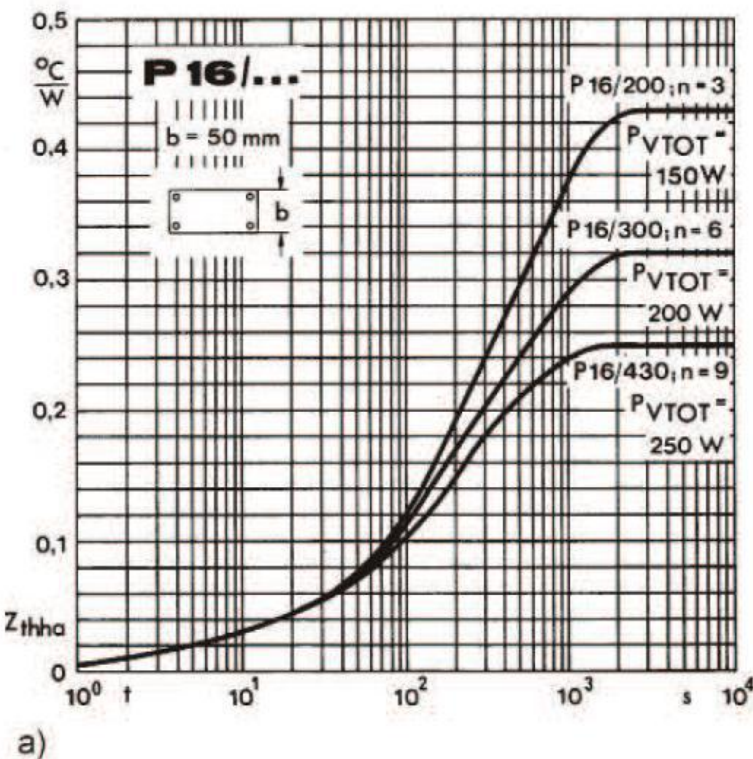
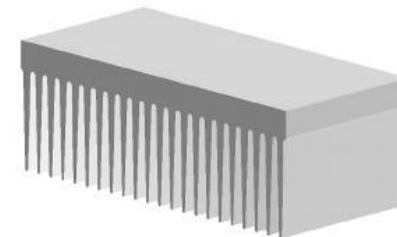
# UVOD

- U poređenju sa prirodnim vazdušnim hlađenjem, forcirano vazdušno hlađenje redukuje značajno termičku otpornost hladnjaka.
- Redukcija termičke otpornosti hladnjaka doprinosi boljem i efikasnijem odvođenju toplote sa pretvaračkih modula
- Teži se da ova termička otpornost bude što manja
- Za veće snage disipacije (npr. veće od 100 W), često se koristi prinudno vazdušno hlađenje, što uključuje uduvavanje vazduha kroz prozor hladnjaka, pri čemu se kao sredstvo za prinudnu cirkulaciju koristi ventilator
- Zavisno od protoka vazduha, dolazi do smanjenja toplotnog otpora hladnjaka za jednu trećinu pa čak i do više, tako da njegova karakteristika postaje nezavisna od snage disipacije
- Premazivanje ili farbanje hladnjaka u crno ne dovodi do daljnog poboljšanja kada se koristi prinudno hlađenje.



Na Slici 1 je prikazan uporedni pregled karakteristika dinamičkih termičkih impedansi  $Z_{th(s-a)}$ , za slučaj prirodnog i forsiranog vazdušnog hlađenja do konačne vrednosti u ustaljenom stanju  $R_{th(s-a)}$ , za slučaj energetskog hladnjaka SEMIKRON P16 i za različite dužine.

*Izgled hladnjaka P16 SEMIKRON*



**Slika 1.**  $Z_{th(s-a)}(t)$  karakteristike za različite dužine hladnjaka P16, date u [mm] i za broj termičkih izvora  $n$ ; a) slučaj slobodne konvekcije za različite disipacije snage, b) za slučaj forsiranog vazdušnog hlađenja.

- Koeficijent  $\alpha$  (koeficijent prenosa toplote) je mnogo veći za slučaj forsiranog hlađenja u odnosu na slučaj hlađenja putem slobodne konvekcije.
- Radna površinska temperatura na hladnjaku koji je forsirano hlađen obično ne sme prelaziti vrednosti  $80^{\circ}\text{C}$ - $90^{\circ}\text{C}$ , pri temperaturi ambijenta od  $35^{\circ}\text{C}$  (uslovi koji su dati u katalogu proizvođača).
- Pošto je konvekcija uglavnom odgovorna za disipaciju toplote, premazivanje hladnjaka crnim premazom praktično neće imati efekat u slučaju prinudnog hlađenja vazduhom.
- Materijal hladnjaka mora obezbiti optimalnu toplotnu provodljivost i prostiranje toplote (visok koeficijent toplotne provodljivosti  $\lambda$ ) uz razumne troškove materijala i obrade. Iz ovih razloga se obično upotrebljava aluminijum-Al ( $\lambda = 247 \text{ W/K}\cdot\text{m}$  za čist Al), ali se vrlo često koristi i bakar kada treba ispuniti visoke zahteve ( $\lambda = 398 \text{ W/K}\cdot\text{m}$ ).
- Za projektansku praksu su veoma bitni tzv. PROFILI HLADNJAKA

## Profili hladnjaka

- Zavisnost prostiranja i širenja toplote u zavisnosti od proizvodnog procesa i korišćene legure je značajna. U praktičnom slučaju vrednosti  $\lambda$  su između 150 W/K·m (Al-legure) i 220 W/K·m (AlMgSi ekstrudirani material).
- Širenje toplote u materijalima ima značajan uticaj na termičku efikasnost hladnjaka. Stoga su za optimalno dimenzionisanje značjne debljina rebara, broj rebara i njihova visina:
- Koren hladnjaka je završni deo montažne površine na koju se montiraju moduli snage koji disipiraju toplotu.
- Rebra na jednom vazdušnom hladnjaku se koriste za disipaciju većeg dela toplote u okolinu, putem konvekcije
- Da bi se odredili optimalni uslovi za forsirano vazdušno hlađenje profila hladnjaka, toplotna provodljivost i konvekcija mogu se dobiti integracijom po visini hladnjaka
- Uz izvesna pojednostavljenja i odgovarajućim matematičkim metodama mogu se dobiti sledeće formule:

## IZRAČUNAVANJE TERMIČKE OTPORNOSTI HLADNJAKA

$$R_{th(s-a)} = \frac{1}{n\sqrt{\alpha \cdot U \cdot \lambda \cdot A} \cdot \left[ \frac{1}{1+e^{-2k}} - \frac{1}{1+e^{2k}} \right]}$$

$$k = h \cdot \sqrt{\frac{\alpha \cdot U}{\lambda \cdot A}}$$

U datim formulama su :

$\alpha$ -koeficijent prenosa toplote,

$U$ -obim rebra,

$\lambda$ - koeficijent termičke provodnosti za materijal od koga je načinjen hladnjak,

$A$ -površina poprečnog preseka rebra,

$h$ -visina rebra.

Tabela 1 pruža grubi pregled karakteristika dizajna različitih vrsta hladnjaka.

	
<i>Tanji koren hladnjaka</i>	<i>Deblji koren hladnjaka</i>
<i>Više rebara</i>	<i>Manje rebara</i>
<i>Niži termički otpor <math>R_{th(s-a)}</math></i>	<i>Viši termički otpor <math>R_{th(s-a)}</math></i>
<i>Niski kapacitet preopterećenja (na primer za pumpe)</i>	<i>Visoki kapacitet preopterećenja (na primer za liftove)</i>
<i>Kratku vremensku konstantu</i>	<i>Duga vremenska konstanta</i>
<i>Malo širenje toplove</i>	<i>Dobro širenje otoplove</i>
<i>Visok pad pritiska – manje vazduha</i>	<i>Nizak pad pritiska- više vazduha</i>
<i>Osetljiv na prljavštinu</i>	<i>Manje osetljiv na prljavštinu</i>

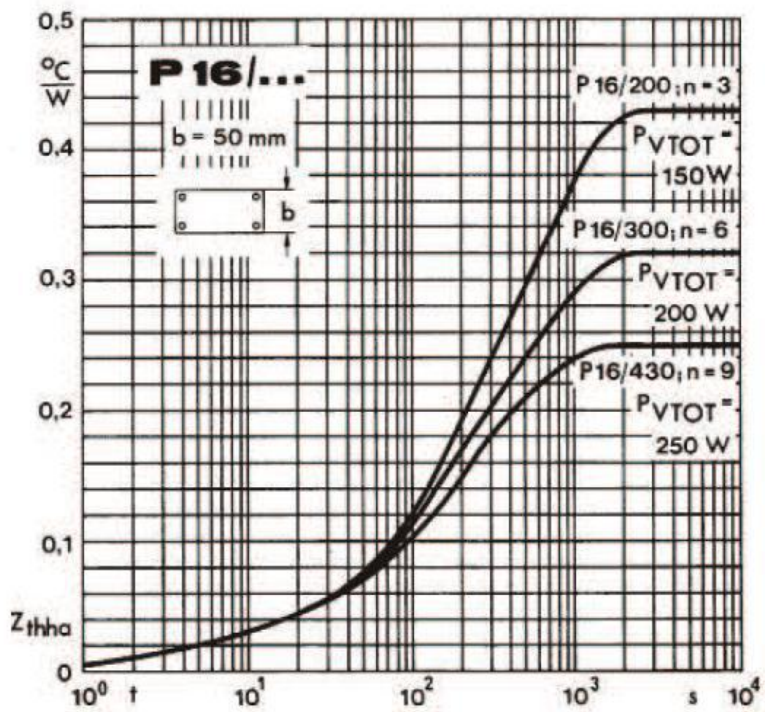
**Tabela 1.** Osobine i kriterijumi izbora za različite profile hladnjaka

## Pad pritiska i zapreminski protok hladnjaka

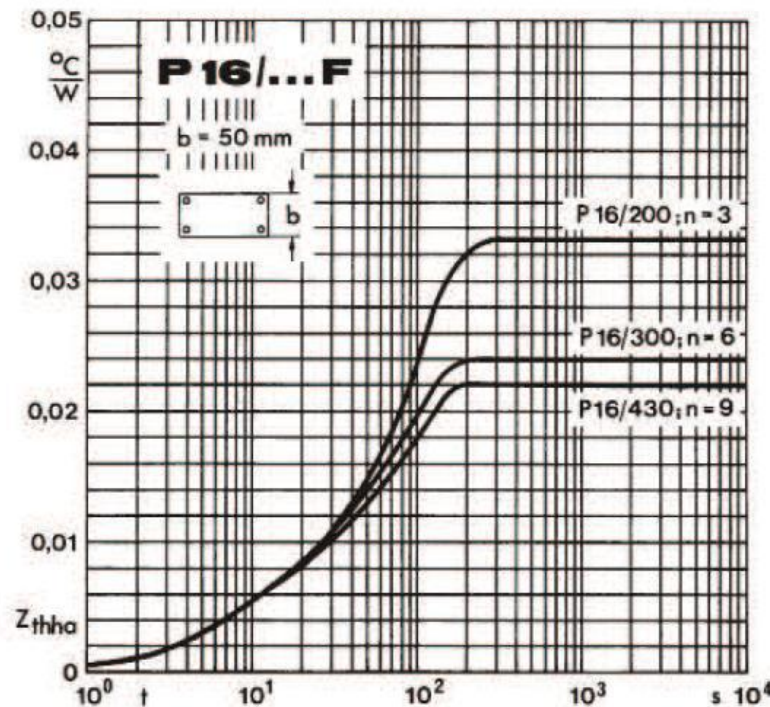
Termička otpornost  $R_{th(s-a)}$  u slučaju forsiranog hlađenja je određena vrednostima zapreminskog protoka u vremenu  $V_{air}/t$ , koja je određena srednjom vrednošću brzine rashladnog vazduha  $v_{air}$  i površine poprečnog preseka A:

$$v_{air} [m/s] \cdot A [m^2] = \frac{V_{air} [m^3]}{t [s]}$$

- Umesto prepostavljenog laminarnog vazdušnog toka, vazdušni vrtlog na površini hladnjaka će izazvati turbulentne uslove protoka koji će poboljšati disipaciju toplote u vazduhu, pod uslovom da su površine hladnjaka postavljene na adekvatan način.
- Treba napomenuti da se ovo prethodno rečeno odnosi ne samo na statičku termičku otpornost, već i na tranzijentnu (dinamičku) termičku impedansu  $Z_{th}$  koja se smanjuje primenom forsiranog hlađenja vazduhom.



a)



b)

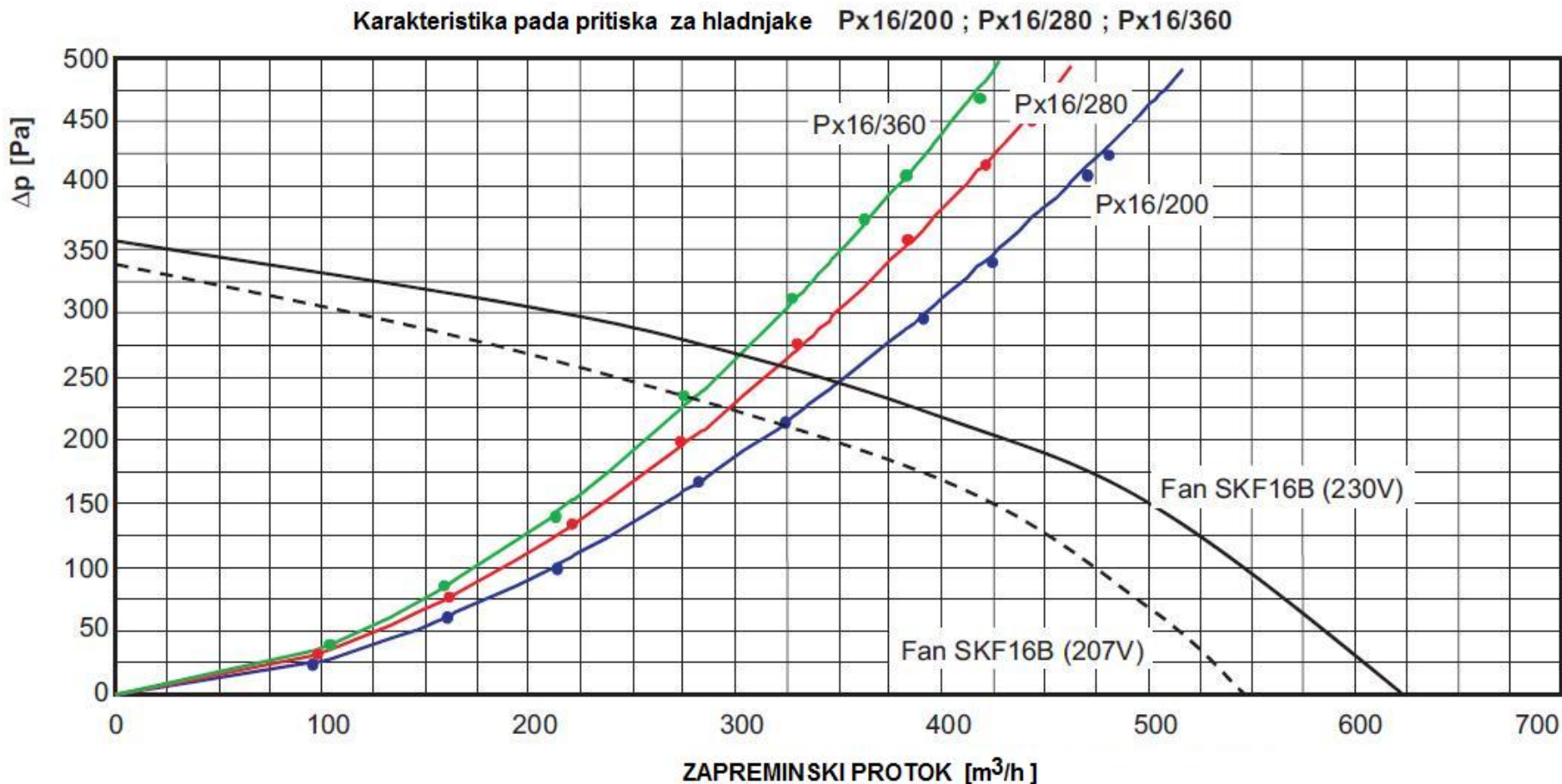
$Z_{th(s-a)}(t)$  karakteristike za različite dužine hladnjaka P16, date u [mm] i za broj termičkih izvora  $n$ ; a) slučaj slobodne konvekcije za različite disipacije snage, b) za slučaj forsiranog vazdušnog hlađenja.

Sa karakteristike impedanse  $Z_{th(s-a)}$  se može dobiti krajnja ustaljena vrednost  $R_{th(s-a)}$  za prirodno i forsirano hlađenje za hladnjak SEMIKRON, tip P16. Vremensko ponašanje u ova dva slučaja se razlikuje i do deset puta. Dok se kod prirodnog hlađenja statička krajnja vrednost dobija nakon 2000...3000 s, u slučaju forsirano hlađenja ovaj proces se završava znatno brže, i to nakon 200...300 s.

## UTICAJ POVEĆENJA BROJA REBARA HLADNJAKA

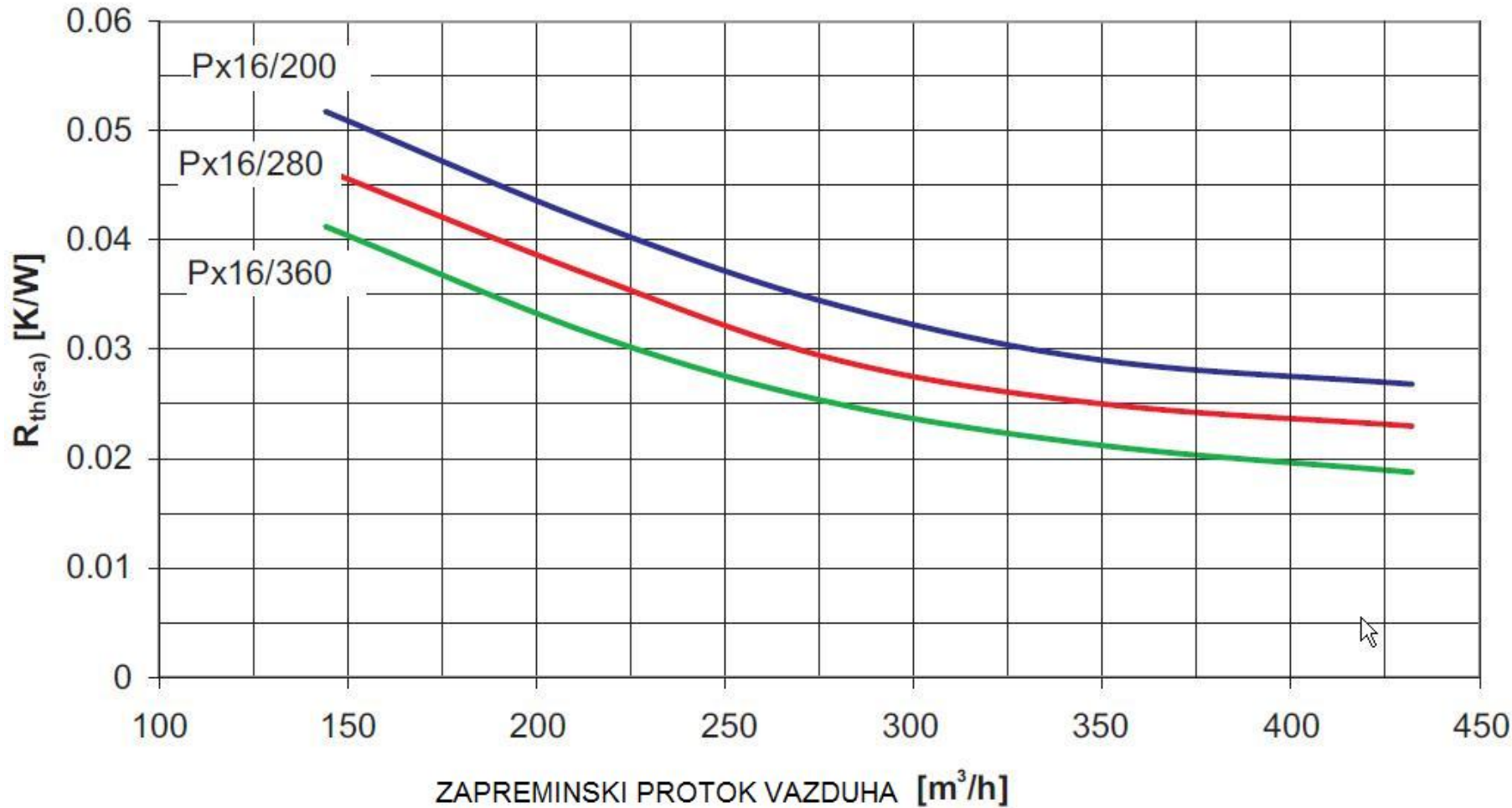
- Povećanje broja rebara hladnjaka i njihove širine će u značajnoj meri redukovati efektivnu vrednost prenosnog poprečnog preseka hladnjaka.
- Sa porastom dužine hladnjaka, pad pritiska rashladnog vazduha  $\Delta p$  raste i vrednost zapreminskog protoka opada.
- Ovo je suprotan efekat od proširenja rashladne površine.
- Iz ovih razloga, ventilator ima optimalnu širinu u skladu sa protokom po poprečnom preseku, dužinom hladnjaka i zapreminskim protokom.
- Odvođenje disipacije topline je zavisno od osobina ventilatora, koje su opisane njegovom karakteristikom  $\Delta p = f(V_{air} / t)$

Presek karakteristične krive ventilatora i krive pada pritiska hladnjaka  $\Delta p = f(V_{air} / t, L)$  daje vrednost protoka u radnoj tački, koja će biti određena kao što je pokazano na Slici 2



Slika 2. Protok rashladnog vazduha profila hladnjaka Px16 za njegove različite dužine i za karakteristiku ventilatora SKF 16B.

- Kada se integriše karakteristika ventilatora, dopuštenu fluktuacija radnog napona (na primer  $230\text{ V} \pm 10\%$ ) treba uzeti u obzir.
- Adekvatno hlađenje mora biti osigurano čak i kada je primjenjeni napon minimalan, odnosno kada se ima manji protok rashladnog vazduha.
- Prenosna termička otpornost  $R_{th(s-a)}$  hladnjaka je funkcija određene vrednosti zapreminskog protoka. (naredn i slajd)



Slika 3. Karakteristične krive za hladnjak Px16 u funkciji zapreminskog protoka vazduha

U blizini poznate radne tačke,  $R_{th(s-a)}$  će biti određena kao funkcija zapreminskog protoka u skladu sa sledećom jednačinom:

$$R_{th(s-a)2} = R_{th(s-a)1} \cdot \left( \frac{\dot{V}_1}{\dot{V}_2} \right)^k$$

gde je vrednost koeficijenta  $k$  obično data na osnovu iskustva i ima vrednosti  $k = 0.7 \dots 0.9$ .

## Ventilatori

- Ventilatori proizvode protok vazduha u skladu sa zahtevima forsiranog vazdušnog hlađenja.
- U zavisnosti od vrste hladnjaka i aplikacije, koriste se različiti tipovi ventilatora (Slika 4).



**Slika 4.** Neki tipovi standardnih ventilatora koji se koriste u sistemima za hlađenje energetskih modula; a) aksijalni ventilator, b) radikalni ventilator, c) ventilatora sa unakrsnim poprečnim "cross flow" tokom vazduha

## Aksijalni ventilatori

- Osovina spina aksijalnog rotora odvija se paralelno sa protokom vazduha.
- Vazduh se pomera kroz aksijalni rotor koji deluje slično vakuumu.
- Prednosti ventilatora aksijalnog protoka su relativno male dimenzije u odnosu na visoku brzinu protoka vazduha.
- Njihov nedostatak je povećanje pritiska u poređenju sa radijalnim ventilatorima.
- Na Slici 5 su date tehničke karakteristike aksijalnih ventilatora proizvodnje SEMIKRON, dok je na Slici 6 dat izgled aksijalnog ventilatora SKF 3.

# Axial Fans

Types	Ident No.		f Hz	V V	Max volume m <sup>3</sup> /h	P W	T <sub>amb</sub> max °C	Weight kg	Noise dB
SKF 3-230-01	30031061		50 / 60	230	159 / 190	15 / 14	70	0,55	37 / 41
SKF 3-115-01	30031110		50 / 60	115	160 / 190	15,5 / 14,5	70	0,55	37 / 41
SKF 3-24c-01	VE001030		DC	24	185	7,5	70	0,26	43
SKF 8-230-01	30145431		50	230	325	45	50	1,1	48
SKF 9-230-01	30142395		50	230	375	24	70	1	54

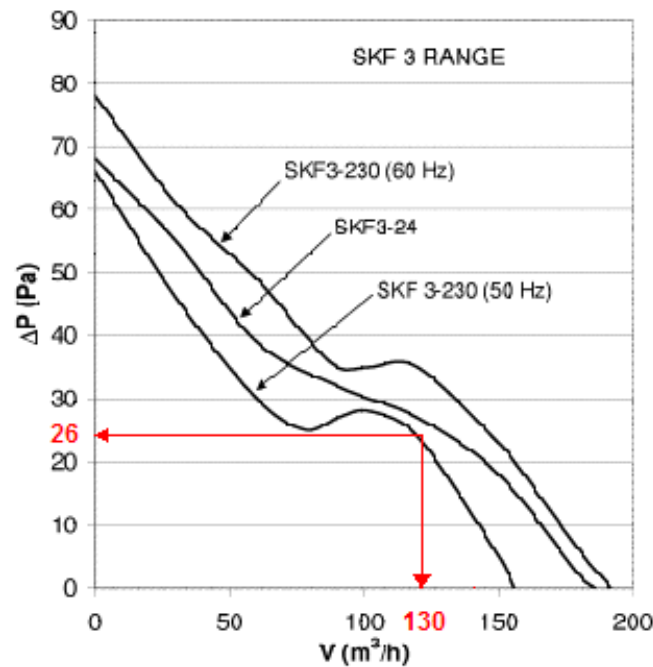


Fig. 1 Characteristic pressure drop vs. air flow SKF 3

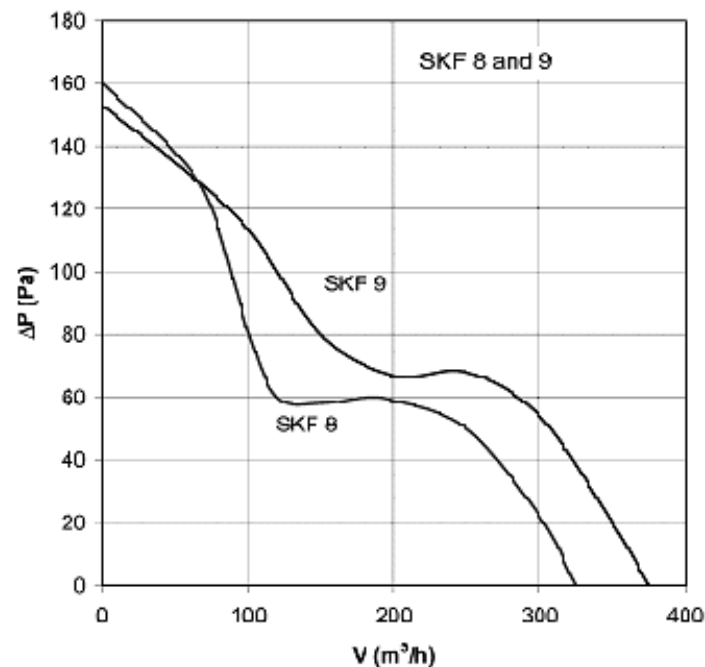
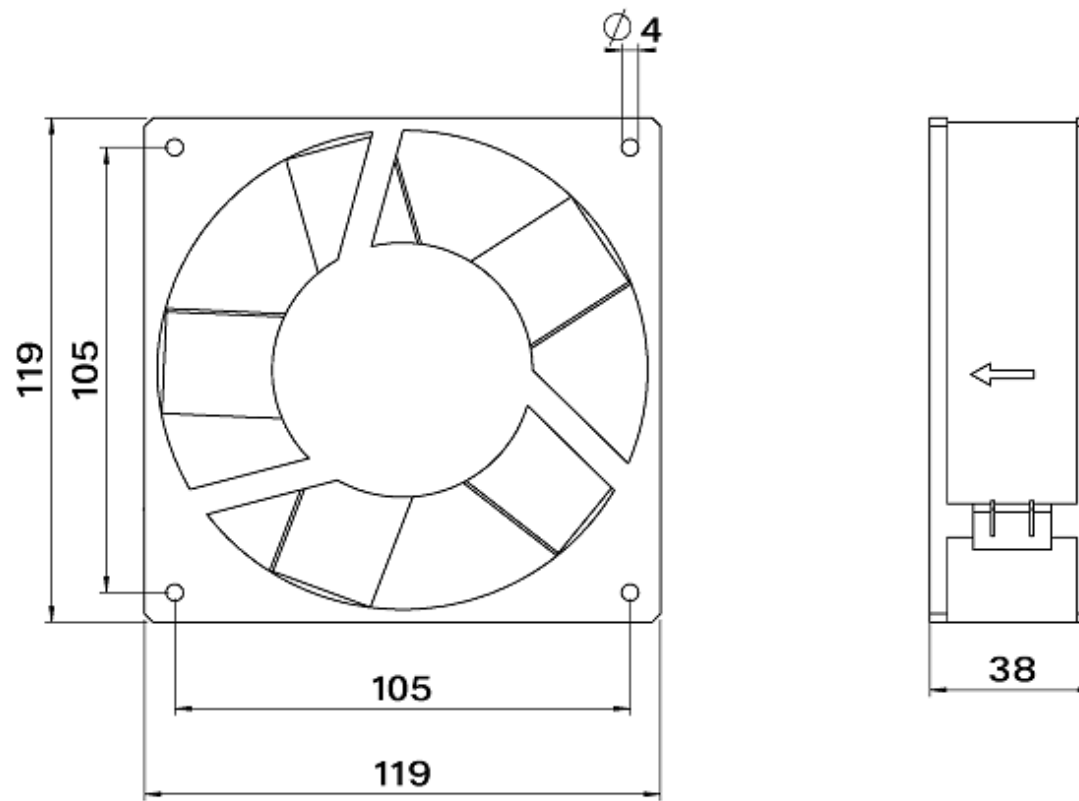


Fig. 2 Characteristic pressure drop vs. air flow SKF 8 / 9

**Slika 5.** Tehnički podaci i karakteristike pada pritiska u funkciji zapeminskog protoka rashladnog vazduha nekoliko aksijalnih ventiatora proizvodnje SEMIKRON

Dimensions in mm

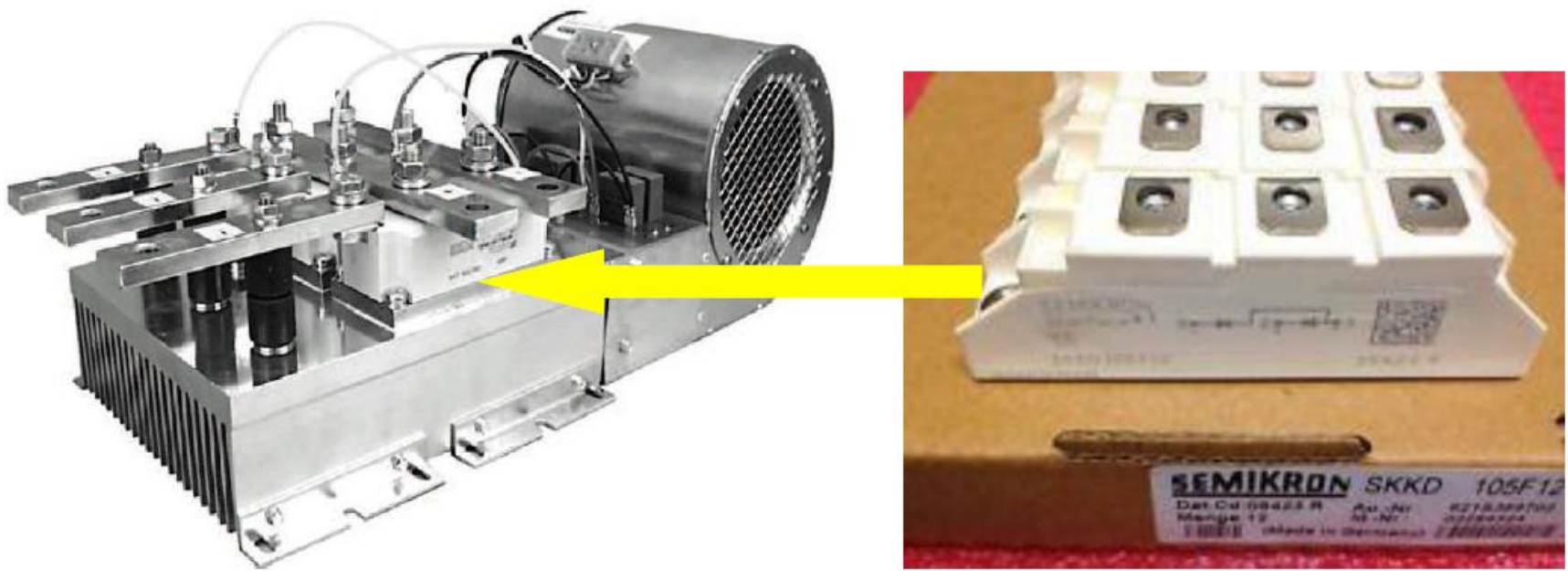


SKF 3

**Slika 6.**Izgled i dimenzije ventilatora SKF 3,  
proizvodnje SEMIKRON

## Radijalni ventilatori (centrifugalni ventilatori)

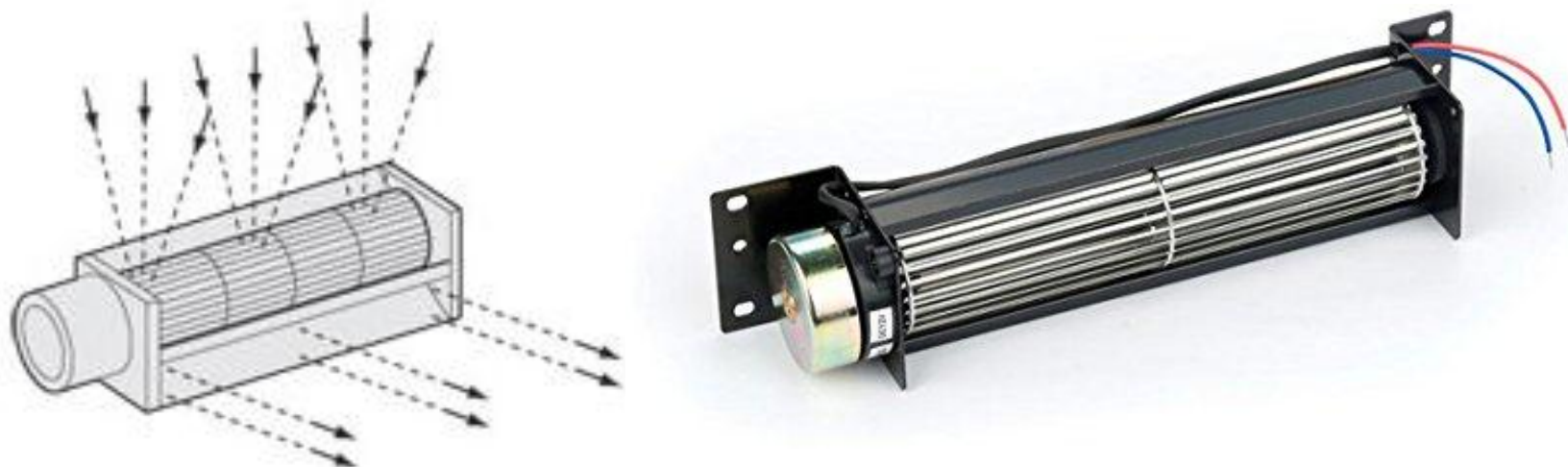
- Radijalni ventilatori (naredni slajd), za razliku od aksijalnih, se koriste kad god je potrebno za istu količinu vazduha potrebno dobiti , za razliku od ventilatora aksijalnog toka, veći porast pritiska.
- Vazduh se usisava paralelno ili aksijalno u odnosu na osu pogona ventilatora radijalnog toka, a odbija se za  $90^{\circ}$  kao rezultat rotacije radijalnog rotora i oduvavanja u radijalnom pravcu.
- Kako bi se smanjili gubici pritiska zbog visoke izlazne brzine vazduha iz radijalnog ventilator, mora se voditi računa da se nastavi kanalisanje vazduha
- Ovo se može ostvariti korišćenjem ogovarajućeg difuzora.



*Slika 7. Set od tri diodna energetska modula (3x half bridge) u trofaznom ispravljaču na profilu sa radijalnim ventilatorom*

## Tangencijalni (“cross flow”) ventilatori

- Ventilatori sa tzv. “unakrsnim tokom” (tzv. “cross flow”) imaju ulazni i izduvni prolaz preko cele dužine.
- Vazduh se usisava u unutrašnjost rotora kroz vijugavi i zakrenuti ulazni priključak, gde se uduvavanje odvaja i odvaja izuzetno homogeno (Slika 8).
- Ventilatori unakrsnog protoka obezbeđuju visoki protok vazduha čak i pri malim brzinama i stoga mogu biti konstruisani da emituju relativno nizak nivo buke.
- Dužina rotora i izlazni otvor su usklađeni sa širinom hladnjaka.



Slika 8. Princip rada i izgled jednog komercijalnog ventilatora sa unakrsnim tokom vazduha

## Uticaj nadmorske visine

- Količina toplote koja se disipira na energetskom modulu, zavisi od atmosferskog pritiska i gustine rashladnog vazduha.
- Gustina vazduha, a time i efikasnost hlađenja, smanjuje se kada se povećava nadmorska visina.
- Smanjenjem gustine vazduha pogoršava se disipaciju toplote.
- Efikasnost hladnjaka se takođe pogoršava.
- Da bi ovo uzele u obzir pri termičkom proračunu, neophodno je smanjiti snagu pretvarača ili pomnožiti termičku otpornost  $R_{th}$  sa korekcionim faktorom u skladu sa vrednostima koje su date u Tabeli 2 (naredni slajd)
- Ova ograničenja performansi se takođe primjenjuju u sistemima vodenog prinudnog hlađenja, ako je temperatura rashladne vode regulisana pomoću vazdušnog izmjenjivača toplote.

<b>Nadmorska visina [m]</b>	<b>Redukcija performansi</b>	<b>Korekcion factor za <math>R_{th(s-a)}</math></b>
0 / nivo mora	1	1
1000	0.95	1.05
1500	0.90	1.11
2000	0.86	1.16
3000	0.8	1.25
3500	0.75	1.33

**Tabela2.** Uticaj nadmorske visine na termičku otpornost hladnjaka

## A) PRIMER IZBORA HLADNJAKA $R_{th}(s-a) \leq 0.2 \text{K/W}$

Kataloški podaci za hladnjak P3

Standard lengths <sup>1)</sup>	n	b mm	$R_{thha}^{2)}$ natural cooling °C/W	$R_{thha}^{3)}$ forced air cooling °C/W	w kg
<b>P3/120</b>	1	20	0,55 (100 W)	0,167	2,1
	2	20	0,53 (100 W)	0,157	
	3	20	0,43 (150 W)	0,147	
<b>P3/180</b>	1	20	0,47 ( 70 W)	0,145	3,1
	2	20	0,39 (150 W)	0,132	
	3	20	0,36 (180 W)	0,120	
	6	20	0,33 (200 W)	0,108	
	1	34		0,144	3,1
	2	34		0,126	
	3	34		0,118	

Hladnjak tip P3



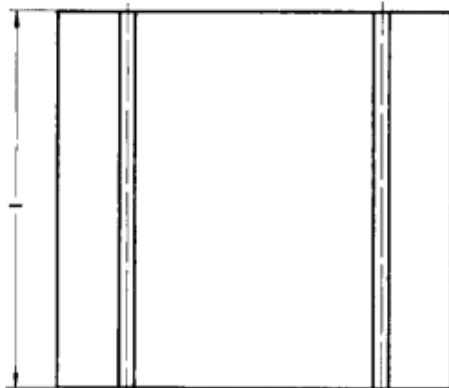
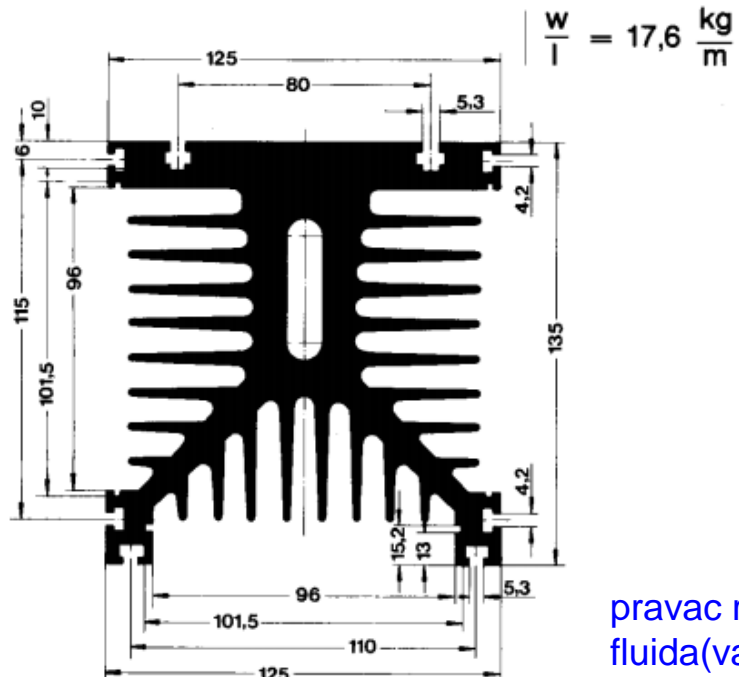
<sup>1)</sup> Non-standard lengths available on request

<sup>2)</sup> At the given power dissipation per semiconductor component

<sup>3)</sup> With fan type SKF 3-230-01 (see B14-109)

Iz date tabele zaključujemo da za sve date vrednosti termičke otpornosti u slučaju prirodnog hlađenja, ovaj način hlađenja ne zadovoljava. Za  $n=1$  (jedan modul), i uz uslov  $R_{th}(s-a) \leq 0.2 \text{K/W}$ , sledi da je izbor koji daje povoljan ishod, HLADNJAK P3/120 sa prinudnim hlađenjem sa vazduhom. Potrebno je u sledećem koraku odrediti protok vazduha u  $\text{m}^3/\text{h}$ .

P 3



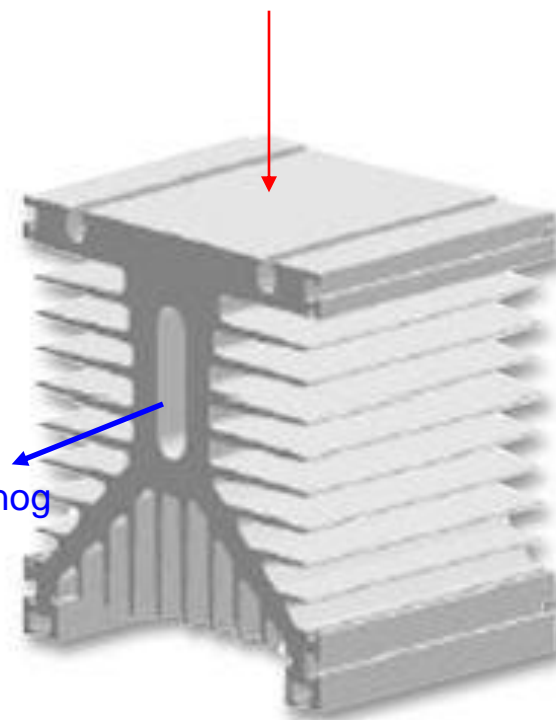
P3/120 : l = 120 mm

P3/180 : l = 180 mm

P3/265 : l = 265 mm

P3/300 : l = 300 mm

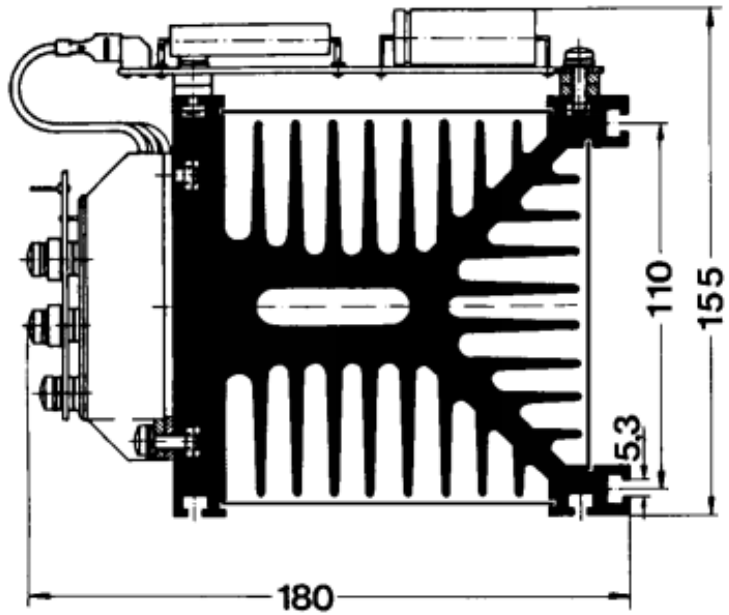
površina na koju se montira  
SCR modul



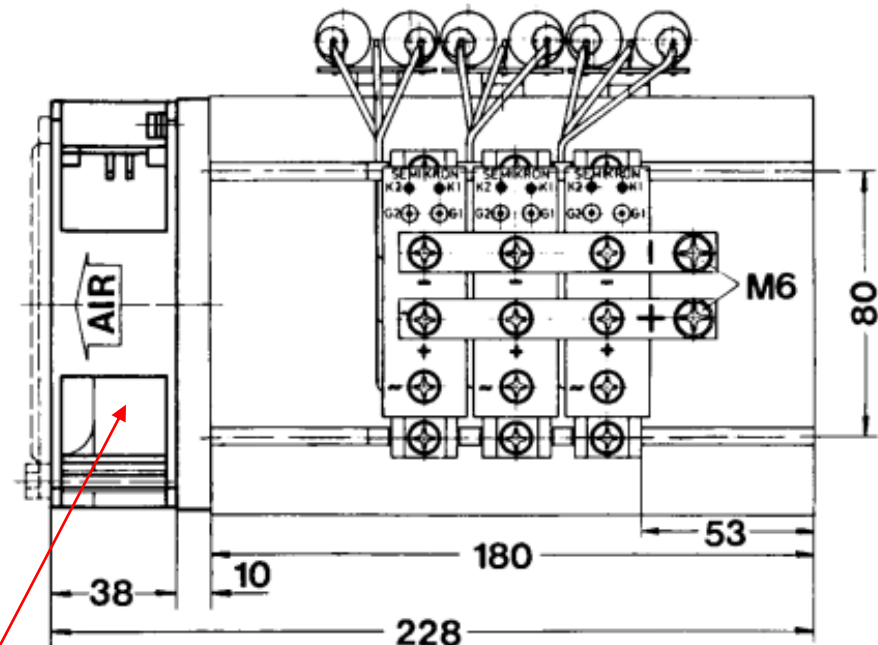
3D prikaz

Dimensions in mm

**P3/180F**



Dimensions in mm



**VENTILATOR**

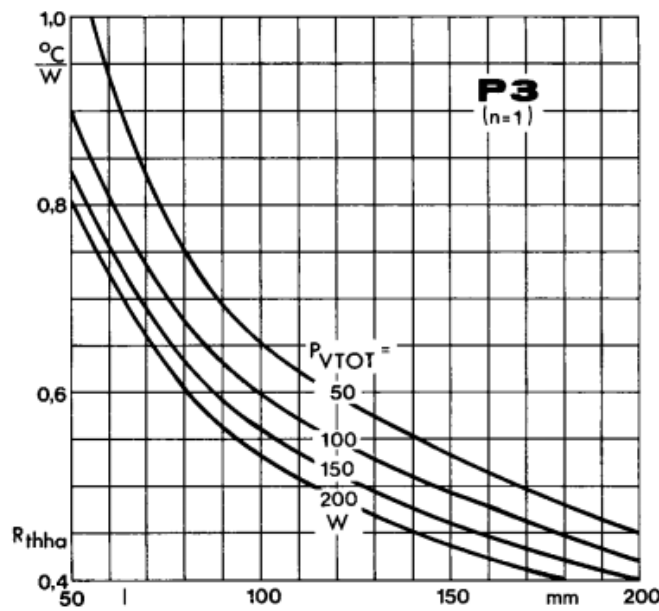


Fig. 3 a Total thermal resistance vs. length

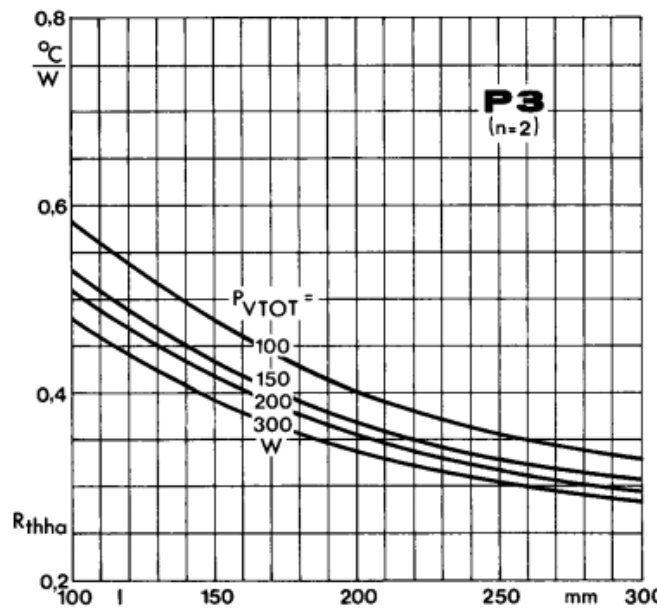


Fig. 3 b Total thermal resistance vs. length

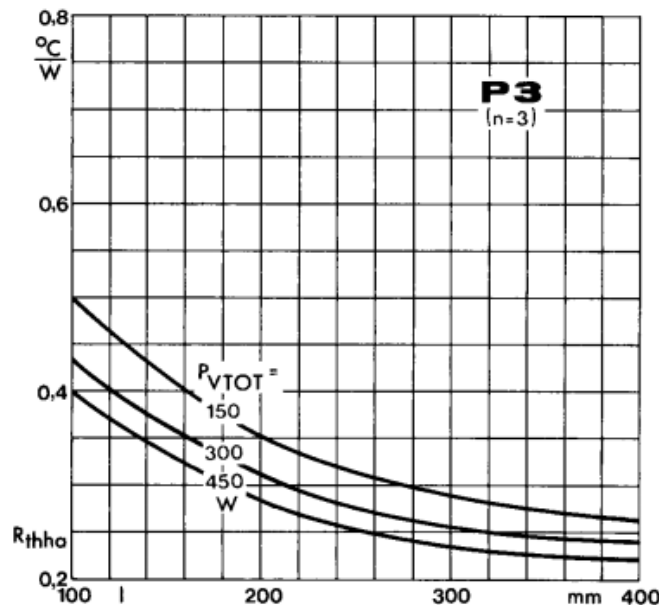


Fig. 3 c Total thermal resistance vs. length

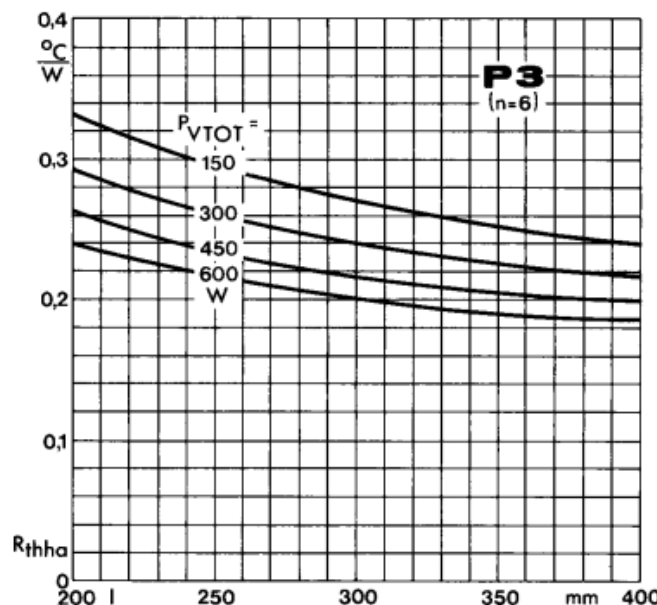


Fig. 3 d Total thermal resistance vs. length

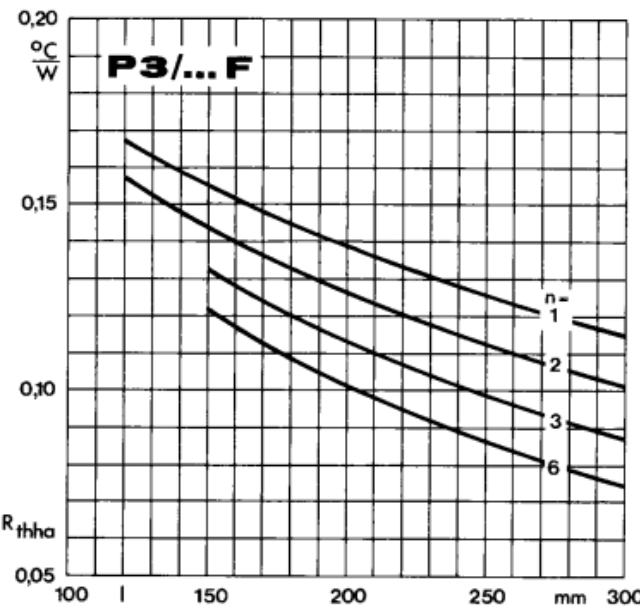


Fig. 6 Total thermal resistance vs. length

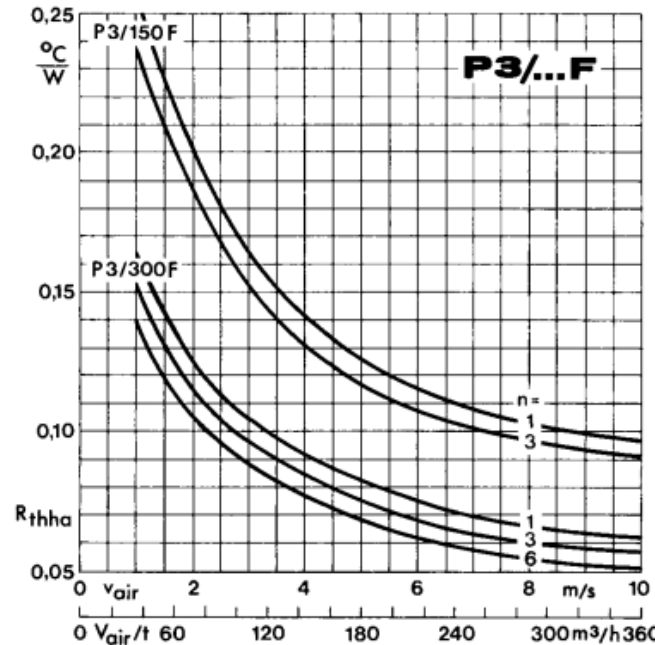


Fig. 7 Total thermal resistance vs. air flow

P3/...F - forisirano hlađenje (F)

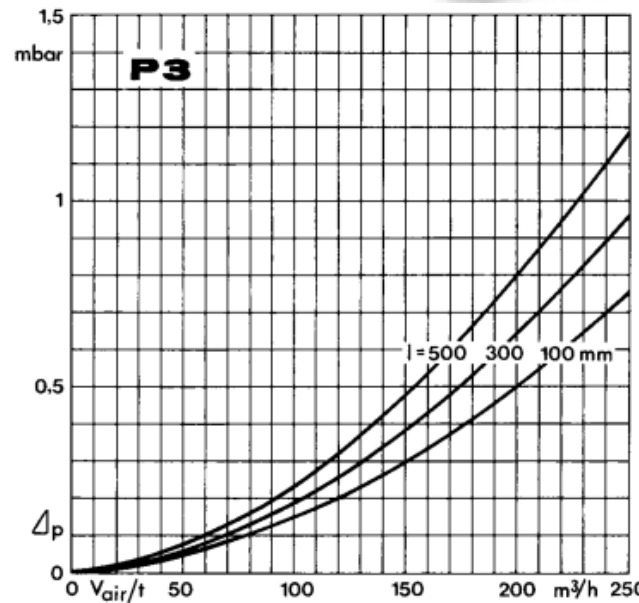
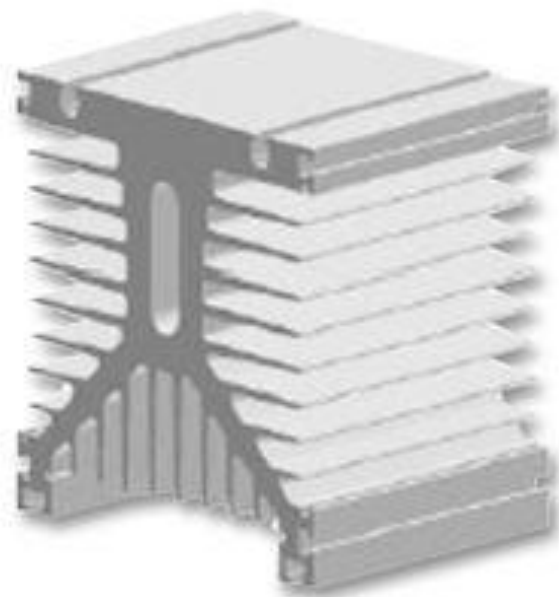


Fig. 8 Pressure drop vs. air flow

# Termičke impedanse SKT modula (n=1.....6)

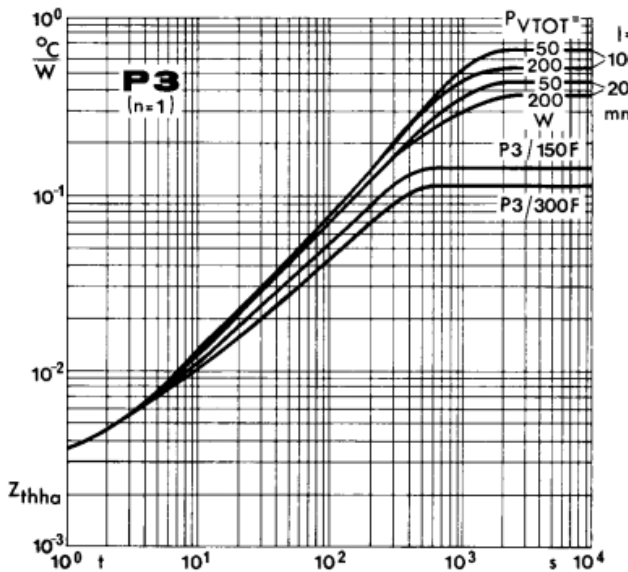


Fig. 10 a Total transient thermal impedance vs. time

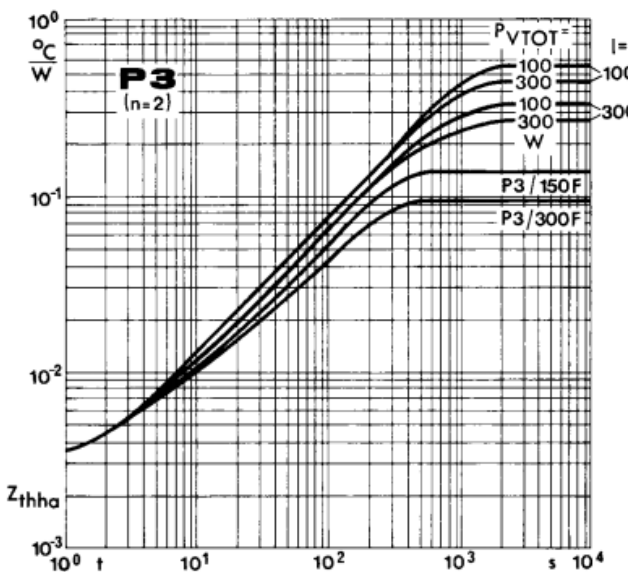


Fig. 10 b Total transient thermal impedance vs. time

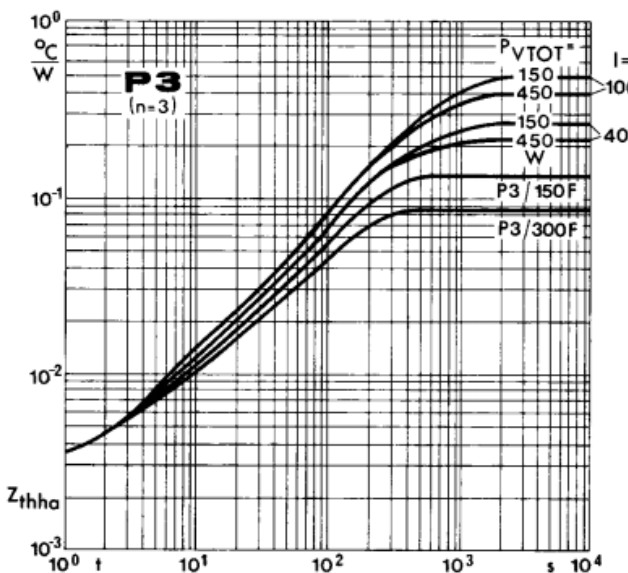


Fig. 10 c Total transient thermal impedance vs. time

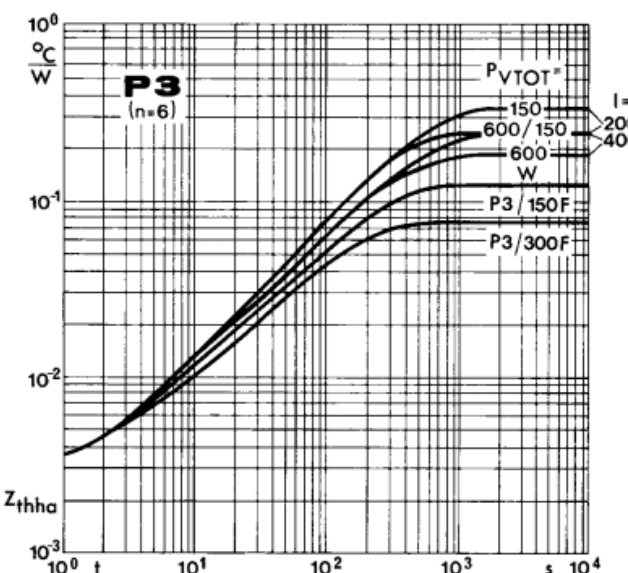
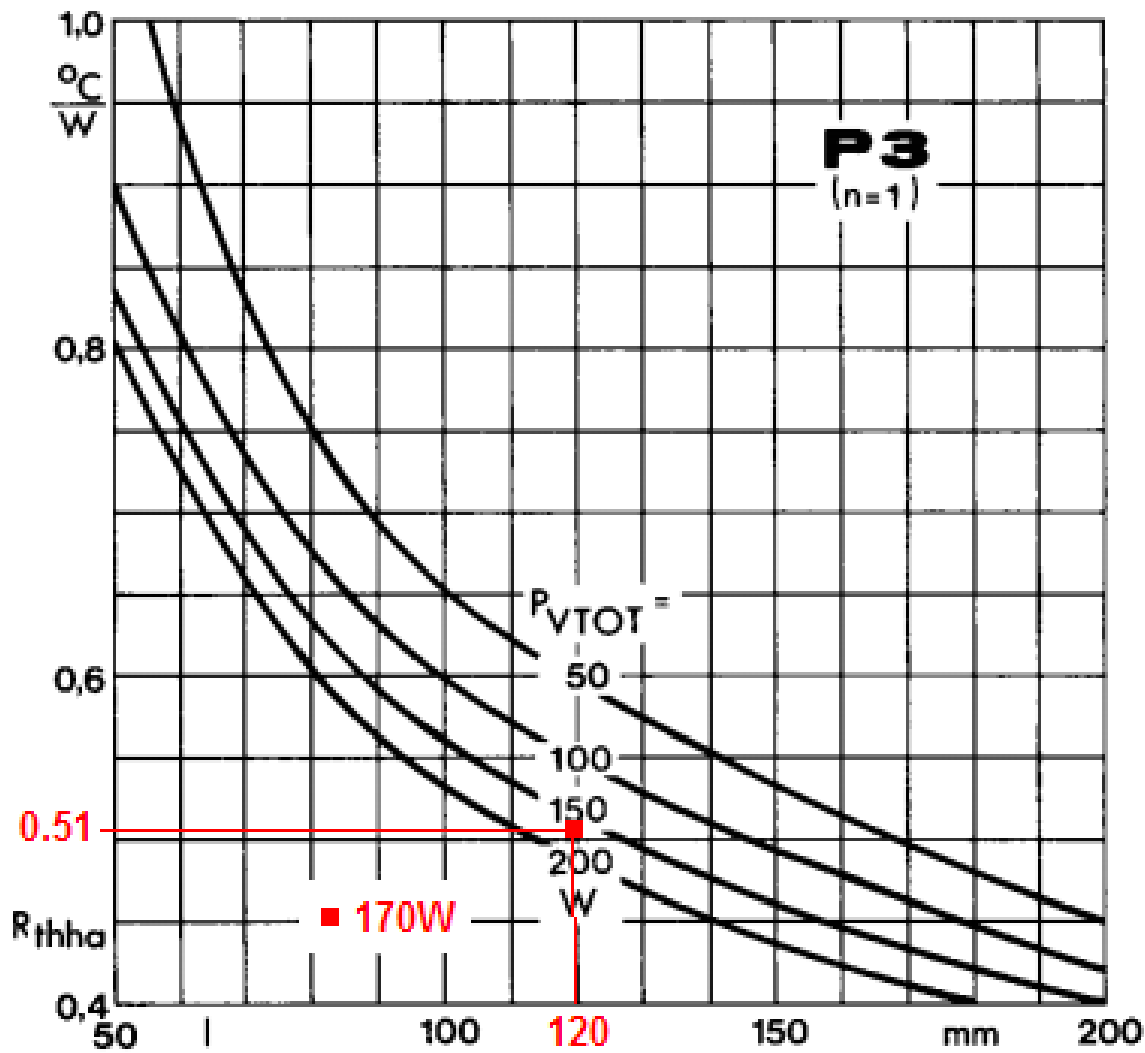


Fig. 10 d Total transient thermal impedance vs. time



Ukupni termički otpor hladnjaka u funkciji od njegove dužine (prirodno hlađenje)

**Fig. 3 a Total thermal resistance vs. length**

Očigledno je da prirodno hlađenje ne zadovoljava jer za datu dužinu hladnjaka od 120mm nije zadovoljen uslov  $R_{th}(s-a) \leq 0.2 \text{ K/W}$  (dobijena vrednost je 0.51K/W)

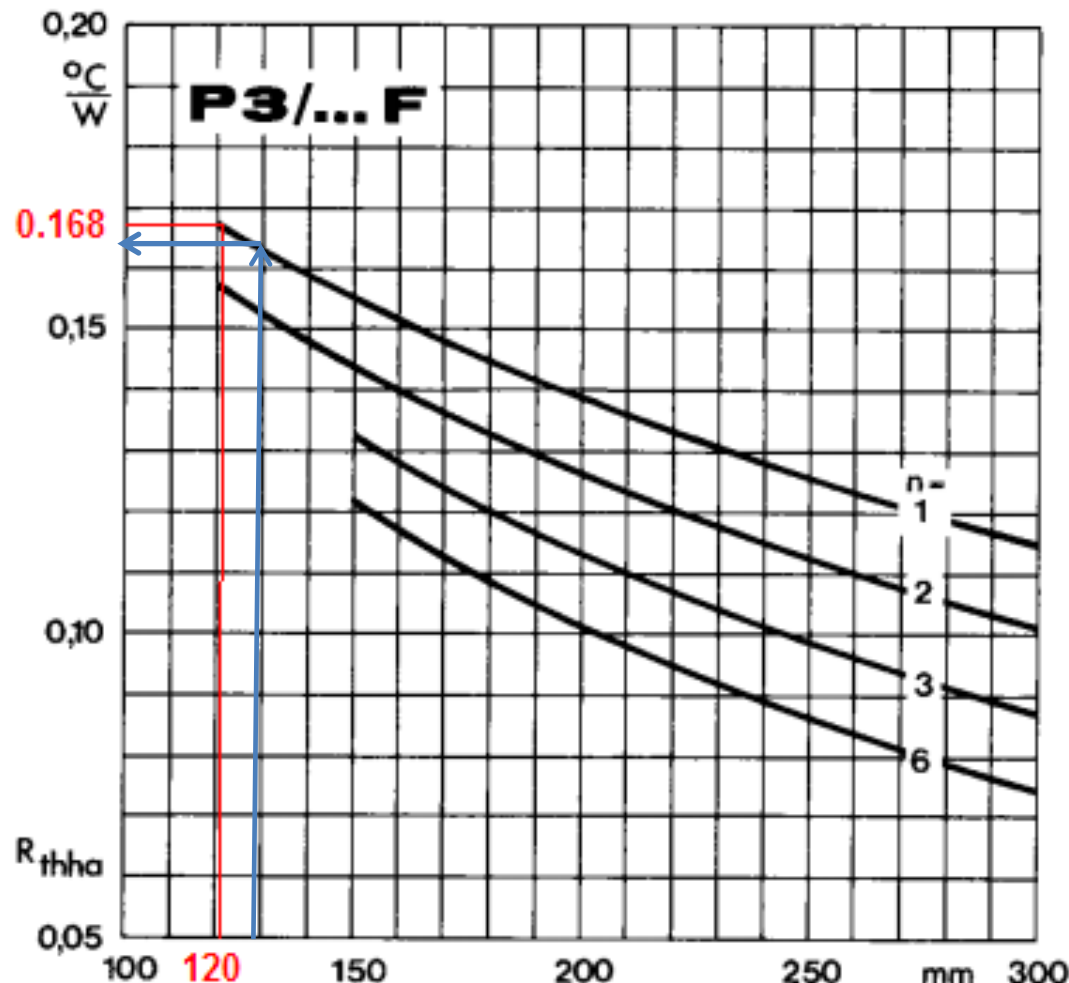


Fig. 6 Total thermal resistance vs. length

Ako se usvoji forsirano hlađenje sa  $130\text{m}^3/\text{h}$  i za dužinu hladnjaka od  $120\text{mm}$  dobija se da je  $R_{th(s-a)} = 0.16\text{K/W} \leq 0.2\text{K/W}$ , tako da ova konfiguracija hlađenja koja se koristi za pretvarački modul, zadovoljava.

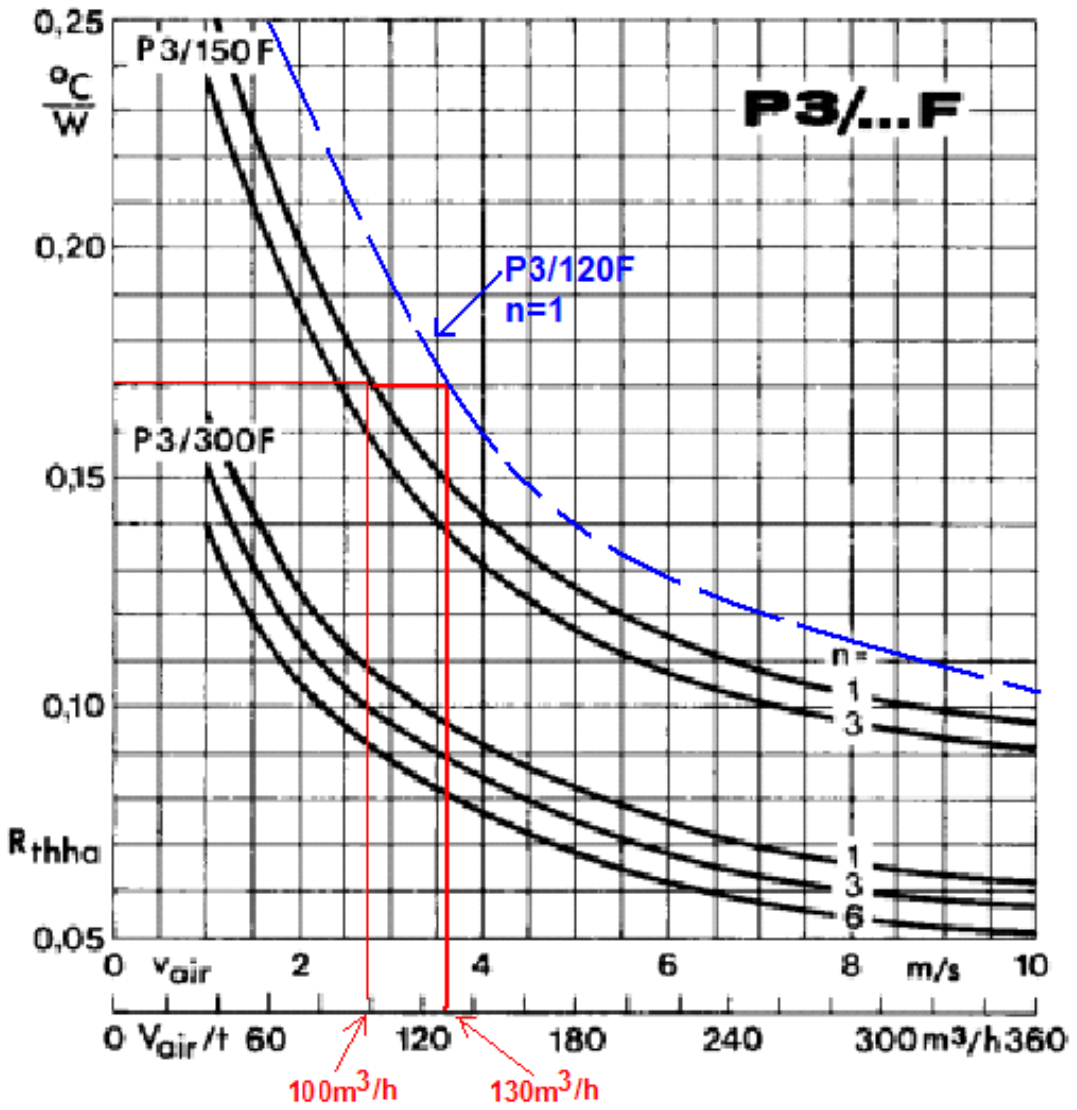


Fig. 7 Total thermal resistance vs. air flow

Termički otpor hladnjaka u funkciji protoka rashladnog vazduha

Za protok vazduha  $130 m^3/h$  ( $v=3.6 m/s$ ) i za hladnjak P3/120F,  $n=1$  se dobija  
 $R_{th}(s-a)=0.17 K/W \leq 0.2 K/W$ .

Napomena: Karakteristika P3/120F (plava kriva) je estimirana na osnovu karakteristika P3/150F i P3/300F.

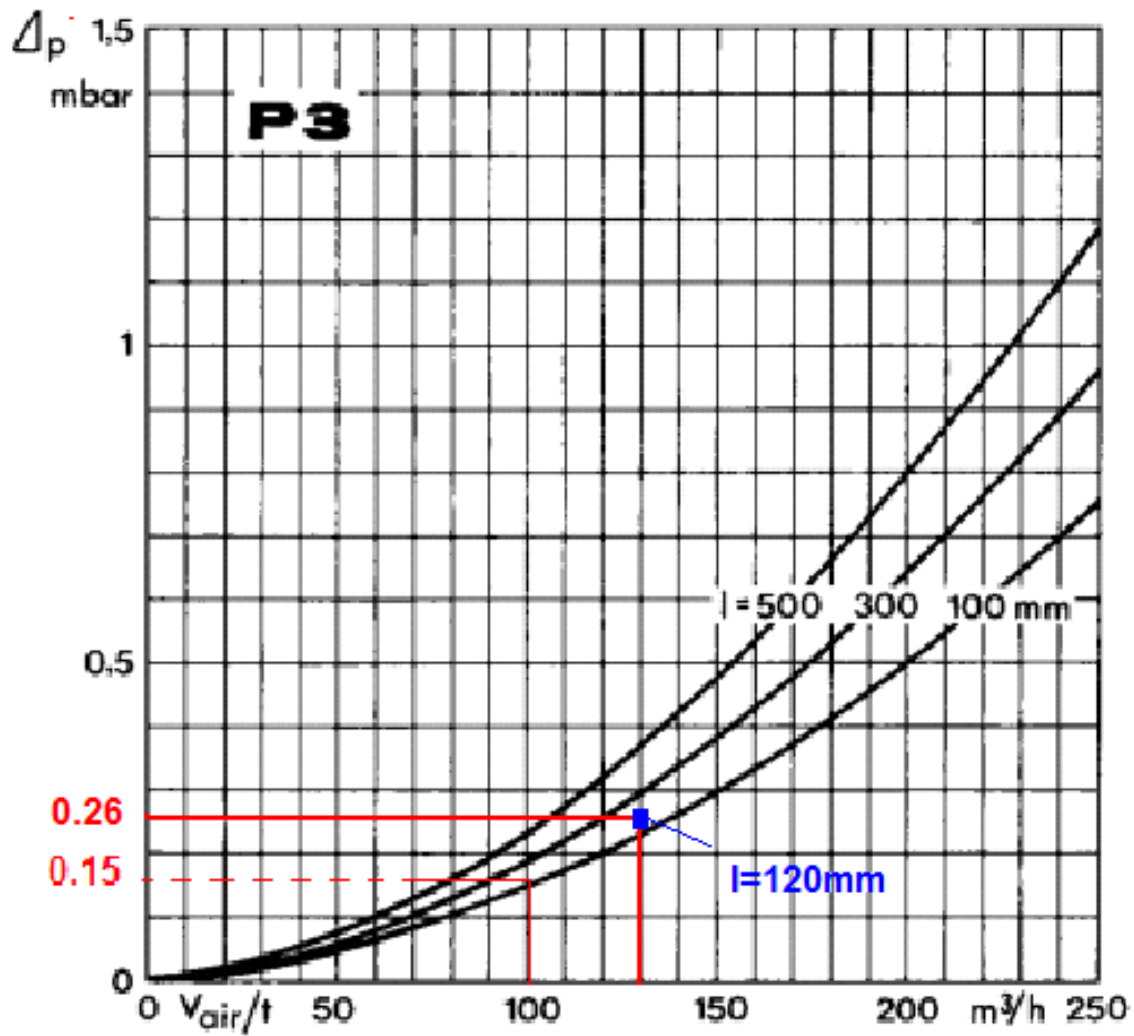


Fig. 8 Pressure drop vs. air flow

Pad pritiska u funkciji  
od protoka vazduha

Za protok od  $130\text{m}^3/\text{h}$  se  
dobija pad pritiska od  
 $0.26\text{mbar}$  (26 Pa).

Za ove vrednosti se bira  
ventilator :  
SEMIKRON  
SKF-3-230-01

# Axial Fans

Types	Ident No.		f Hz	V m³/h	Max volume m³/h	P W	T <sub>amb</sub> max °C	Weight kg	Noise dB
SKF 3-230-01	30031061		50 / 60	230	159 / 190	15 / 14	70	0,55	37 / 41
SKF 3-115-01	30031110		50 / 60	115	160 / 190	15,5 / 14,5	70	0,55	37 / 41
SKF 3-24c-01	VE001030		DC	24	185	7,5	70	0,26	43
SKF 8-230-01	30145431		50	230	325	45	50	1,1	48
SKF 9-230-01	30142395		50	230	375	24	70	1	54

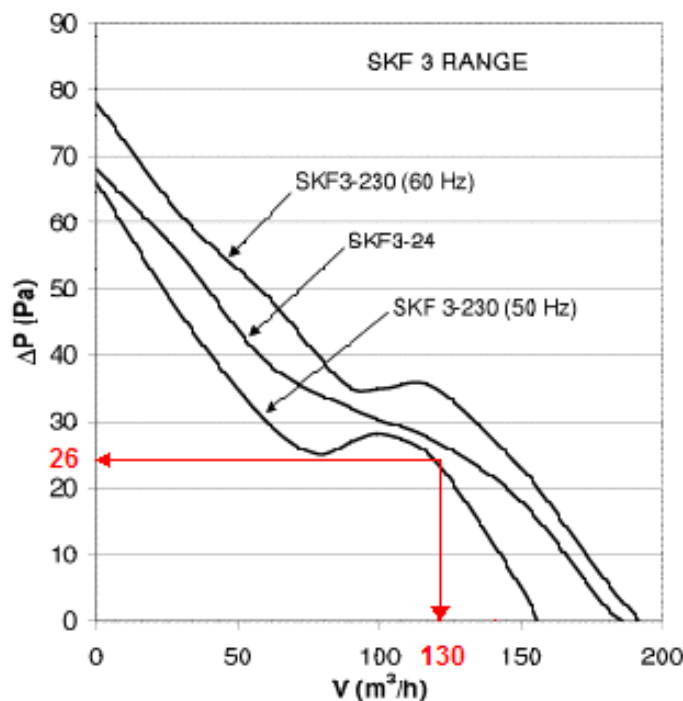


Fig. 1 Characteristic pressure drop vs. air flow SKF 3

1mbar=100Pa

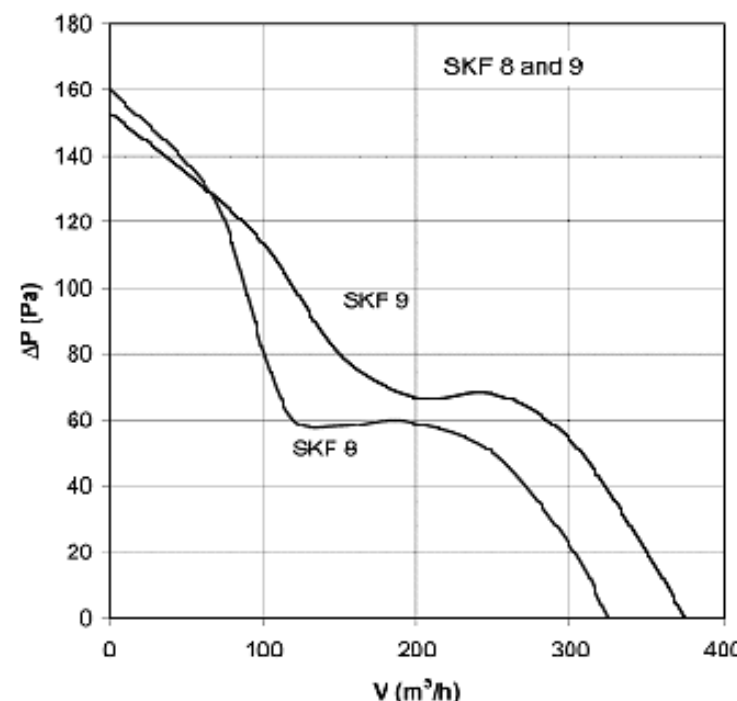


Fig. 2 Characteristic pressure drop vs. air flow SKF 8 / 9

## B) PRIMER IZBORA HLADNJAKA $R_{th(s-a)} \leq 0.09 \text{ K/W}$

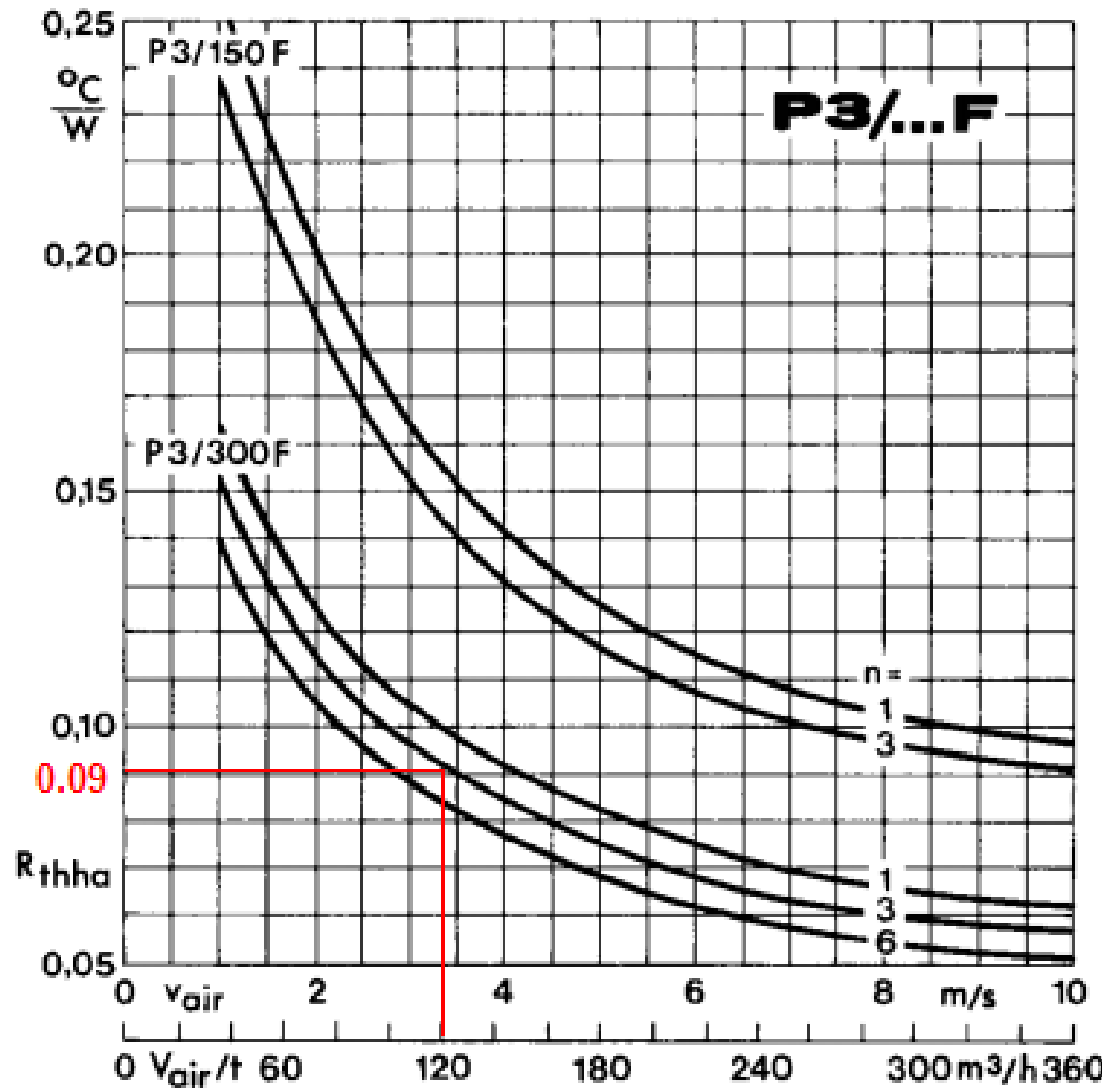
Ovo je veoma mali termički otpor!!!!

ZAHTEVI ZA HLADNJAKOM SU:  $R_{th(s-a)} = 0.09 \text{ K/W}$  za  $n = 3$  izvora toplote /tri modula (1), (2) i (3). Jedno od mogućih rešenja je hladnjak tipa P3/300 sa ventilatorom koji mora da obezbedi  $120 \text{ m}^3/\text{h}$  (ustvari oznaka mu je P3/300F)

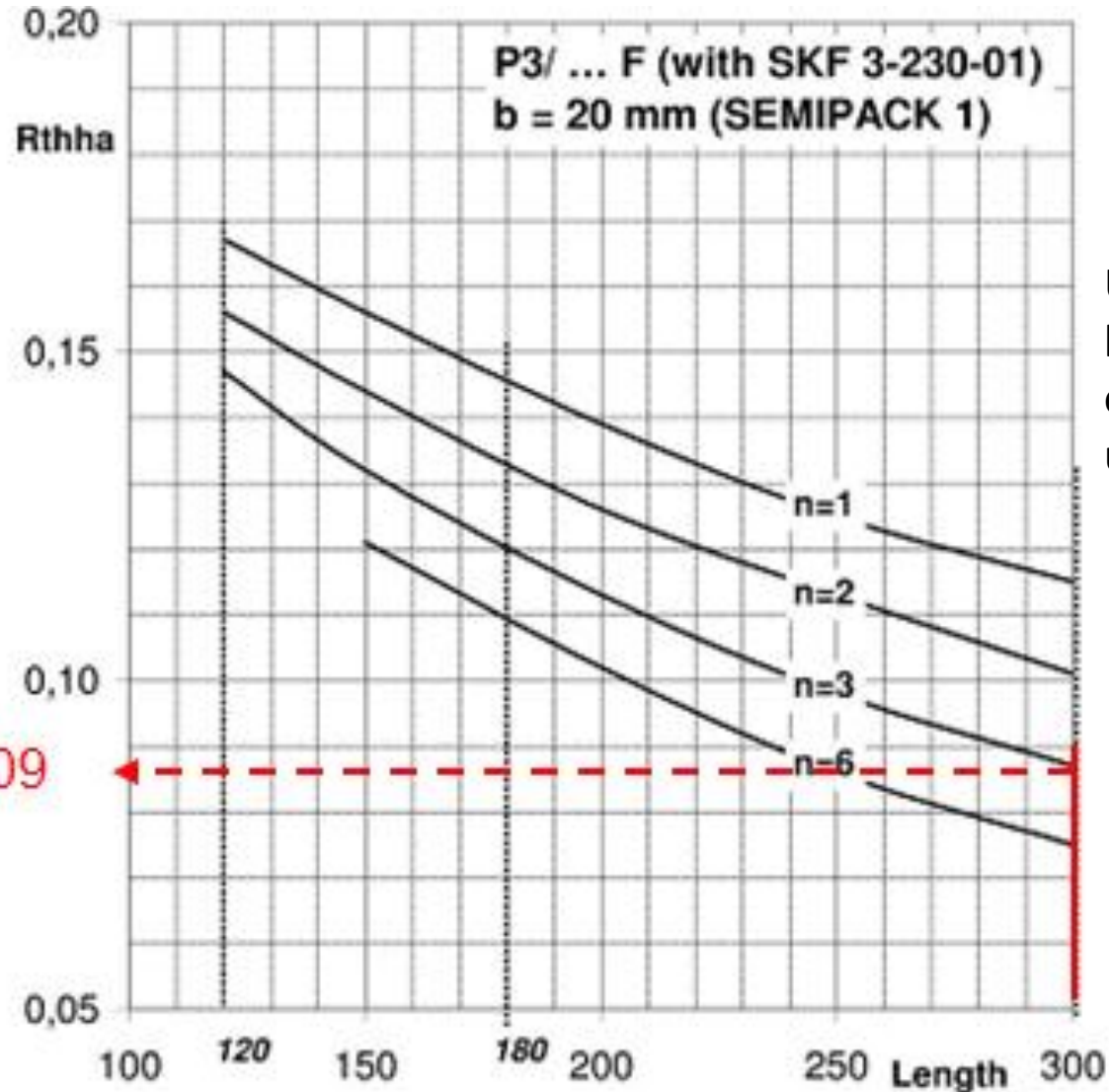


Standard lengths	n	b / d Ø mm	$R_{thha}$ natural cooling K/W	$R_{thha}$ with Fan SKF 3-230-01 K/W	w kg
P 3/120	1	20	0,55 (100W)	0,167	2,1
	3		0,43 (150W)	0,147	
P 3/180	2	20	0,39 (150W)	0,132	3,1
	3		0,36 (180W)	0,12	
P 3/300	6		0,33 (200W)	0,108	
	1	34		0,144	
	3			0,118	
	3	34		0,0847	5,3

P3/300F

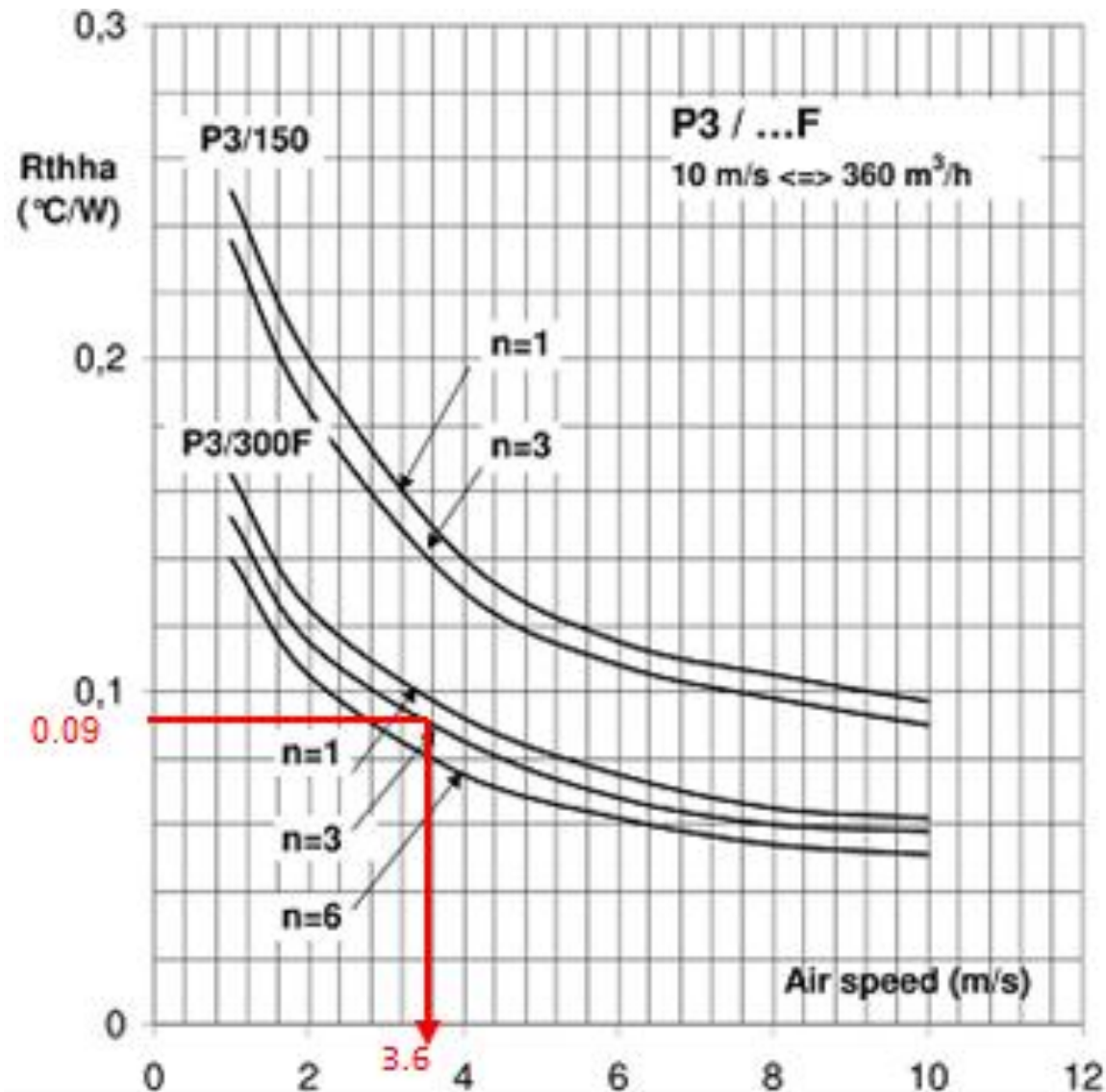


Ukupna termička otpornost u funkciji  
od protoka vazduha

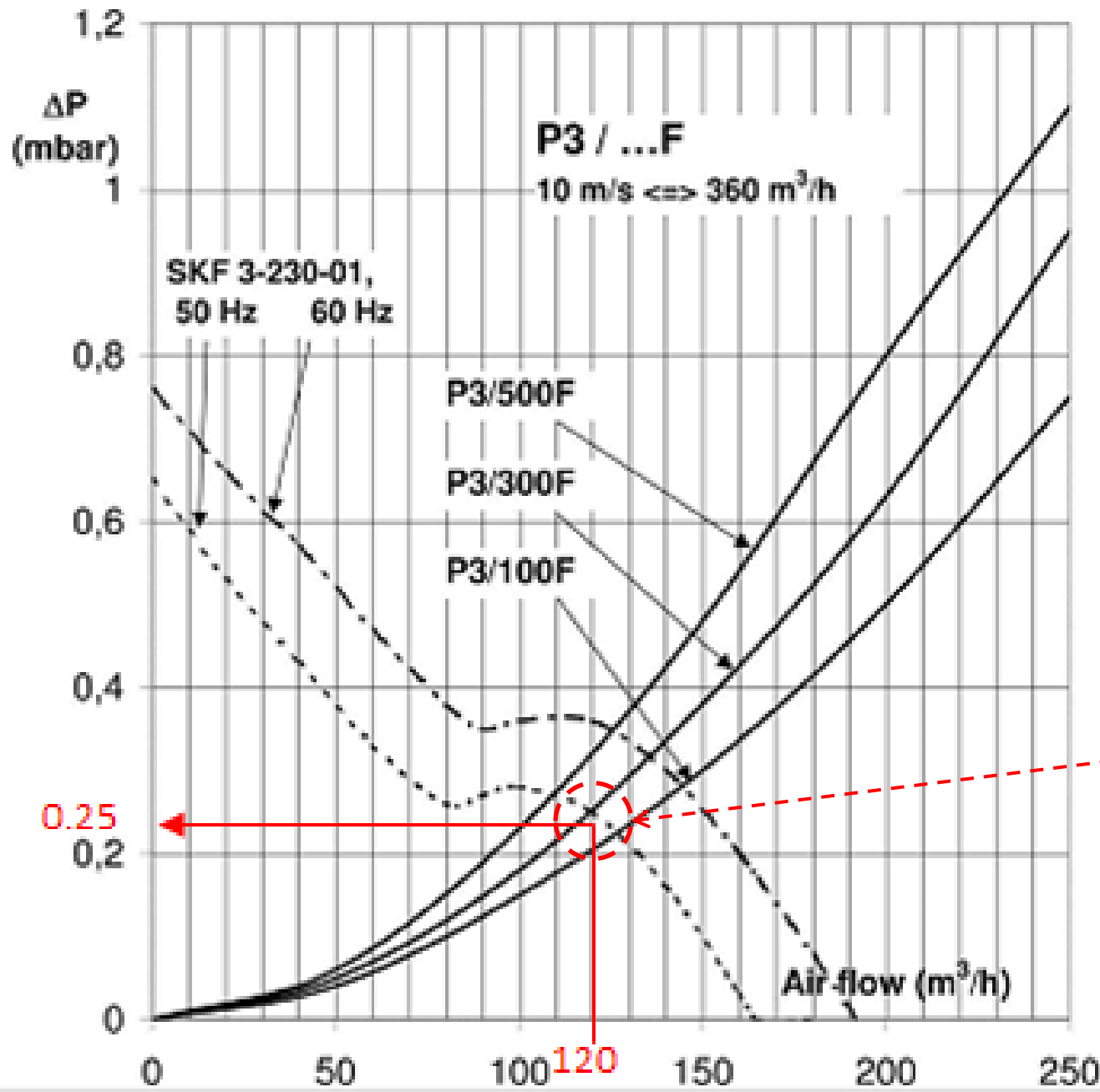


Ukupna termička otpornost  
 hladnjaka P3/ ...F sa forisranim  
 odvođenjem toplote  
 u zavisnosti od dužine hladnjaka

Za  $n=3$ ,  $L=300\text{mm}$ ,  $R_{th}(s-a) \leq 0.09\text{K/W}$

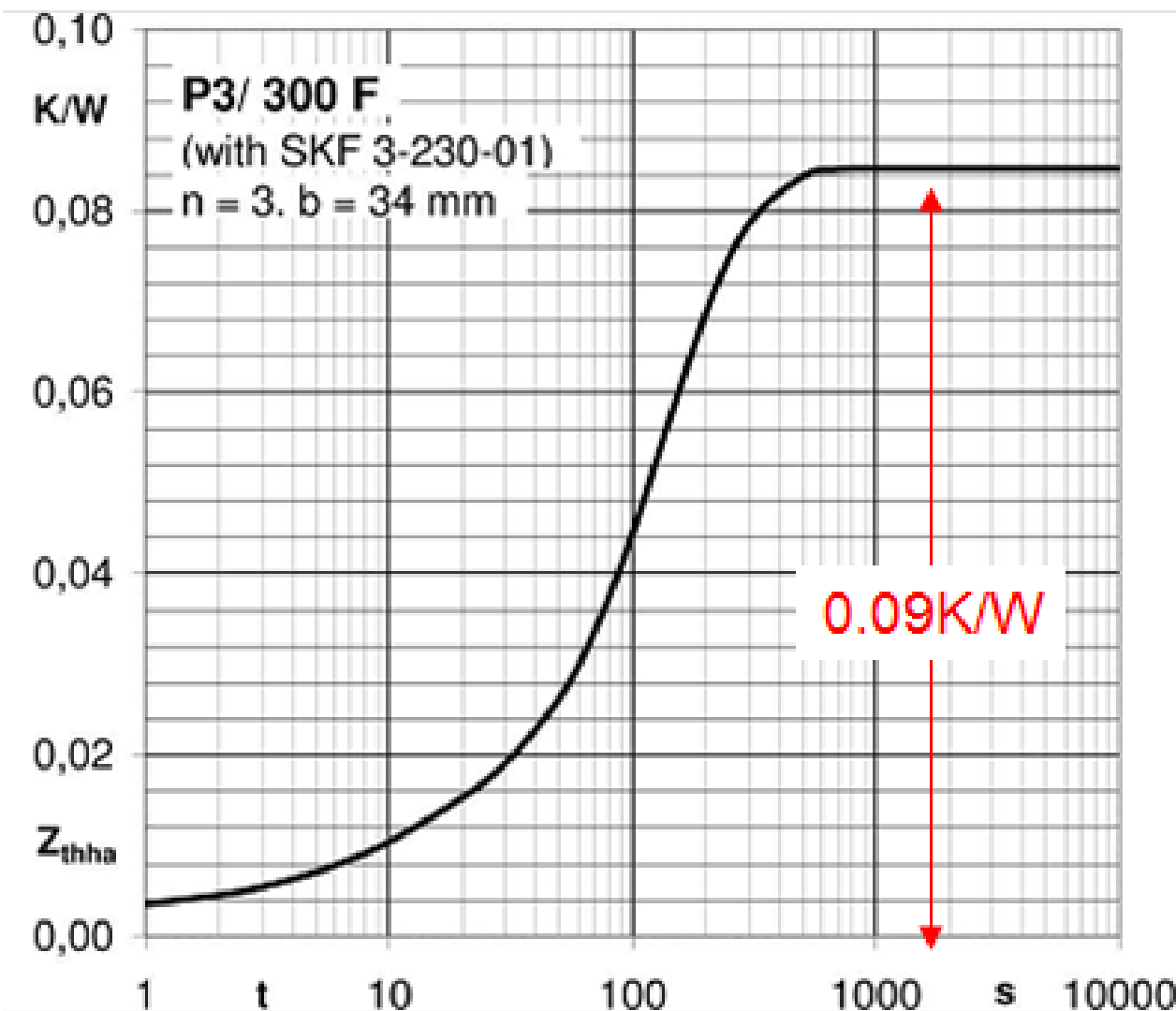


Zavisnost termičke otpornosti hladnjaka P3 sa forsiranim vazdušnim strujanjem (P3/...F) od brzine strujanja vazduha



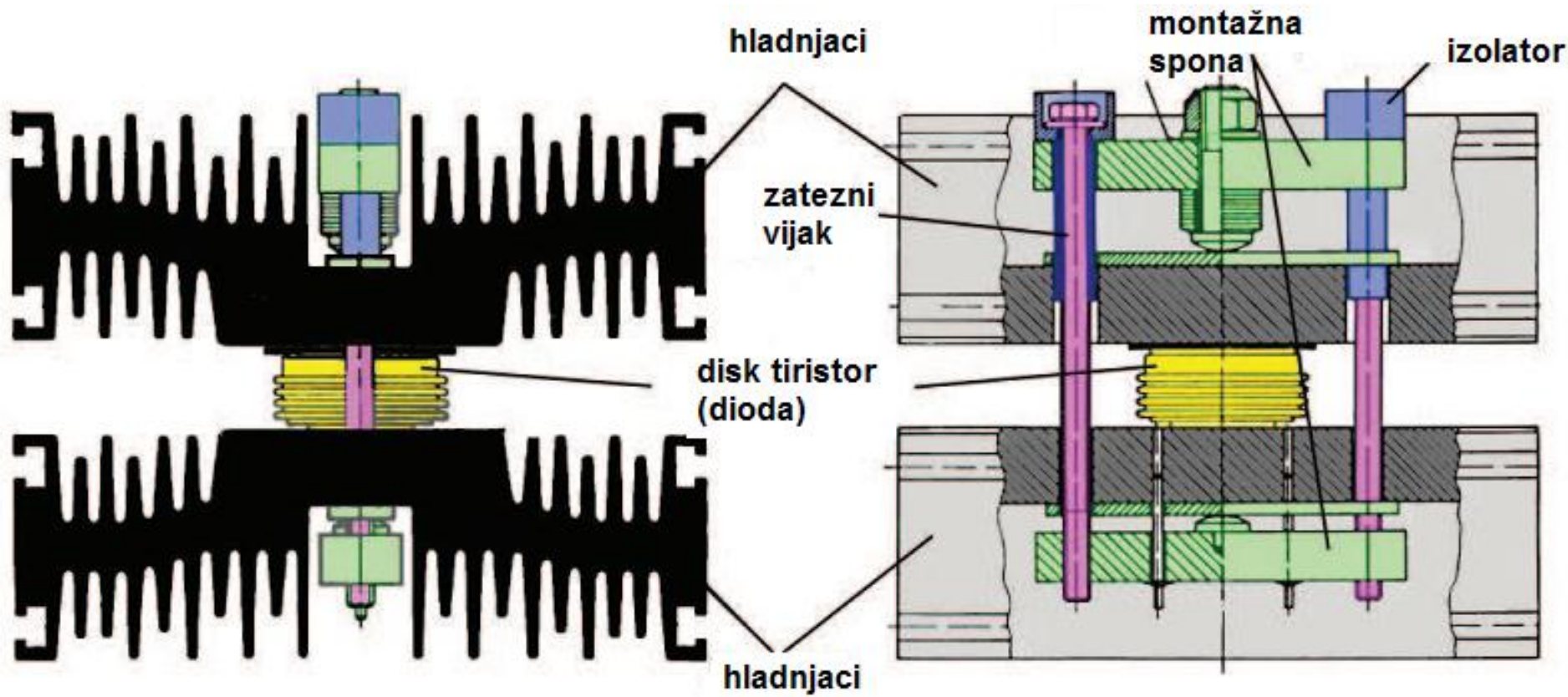
Izbor radne tačke  
za slučaj  
korišćenja  
ventilatora  
SKF 3-230-01

Radna tačka



Vremenski dijagram termičke impedanse ( ustaljena „aktivna“ termička otpornost  
Se postiže nakon 10-15 minuta)

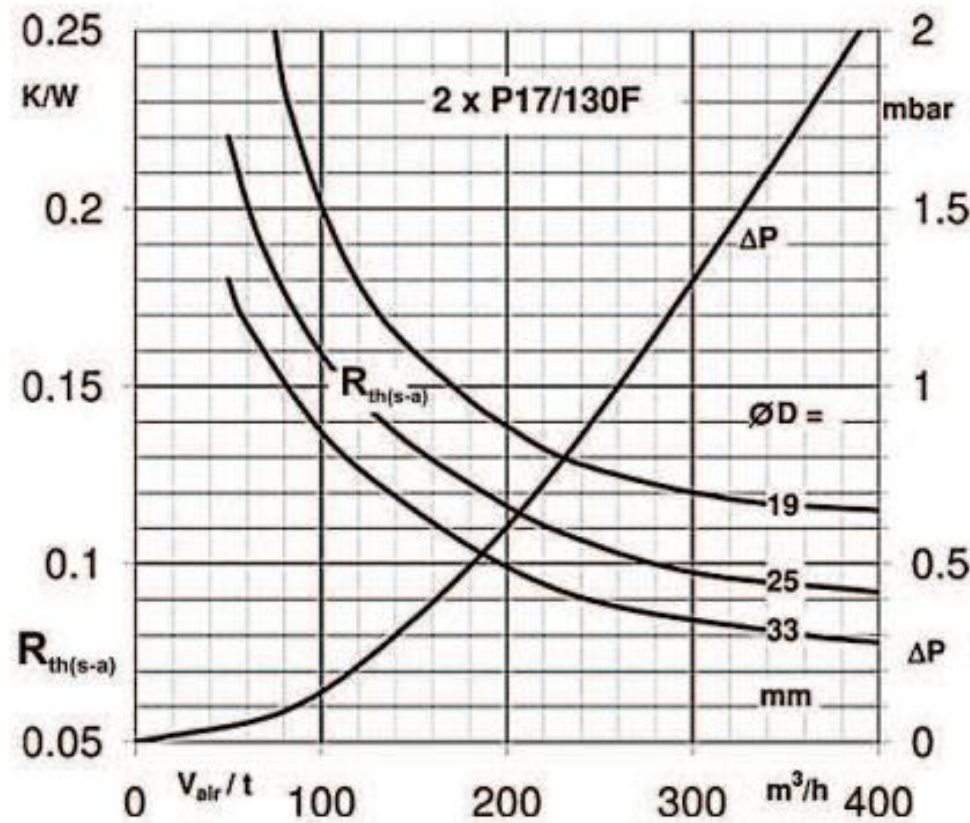
## DVOSTRUKO HLAĐENI DISK TIRISTOR POSTAVLJEN IZMEĐU DVA PROFILA HLDANJAKA



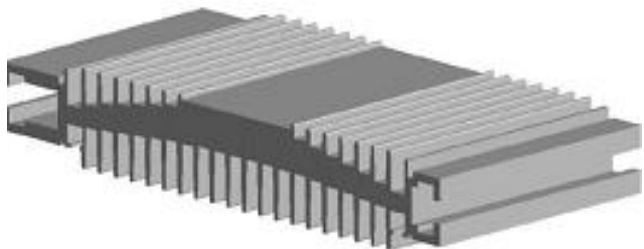
Da bi se postiglo dvostrano hlađenje tiristora oblika diska i samim tim dvostruko Manja termička otpornost  $R_{th(j-s)}$ , komponenta se ugrađuje između dva profila hladnjaka. Sistem za pričvršćenje mora biti dimenzionisan tako da je bar jedna ploča hladnjaka pokretna kako bi se osiguralo da je distribucija pritiska na celoj površini čelije diska ravnomerna.

### C) PRIMER IZBORA HLADNJAKA ZA DISK TIRISTORE (dvostrano hlađenje)

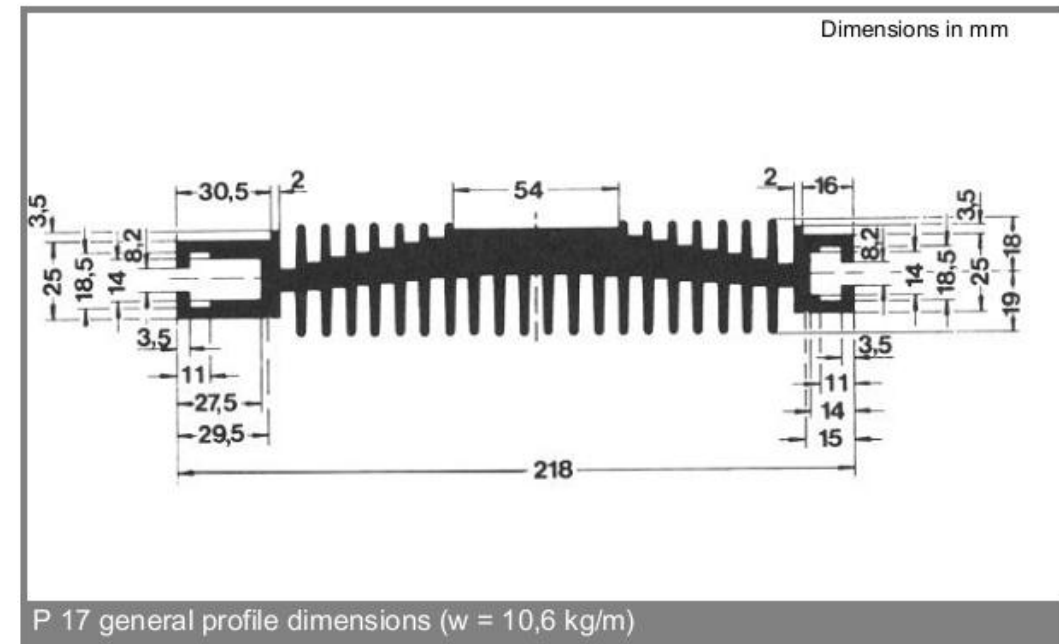
- Zahteva se laminarni protok.
- Među lopaticama hladnjaka, međutim, protok vazduha je normalno turbulentan.
- To je od prednosti jer to pomaže poboljšanju prenosa toplote iz hladnjaka u vazduh.
- Ako postoji turbulencija, neće se moći dobiti tačnu vrednost za srednju brzinu rashladnog vazduha.
- Zato je ova specifikacija ove vrednosti ograničena.
- Da bi se postigao toplotni otpor  $R_{th}$  predviđenog sklopa hladnjaka sa određenim ventilatorom, prvi je korak mapiranje specificiranog grafikona pada pritiska  $\Delta p$  u hladnjaku a u funkciji zapreminskog protoka rashladnog vazduha  $V_{air/t}$ .



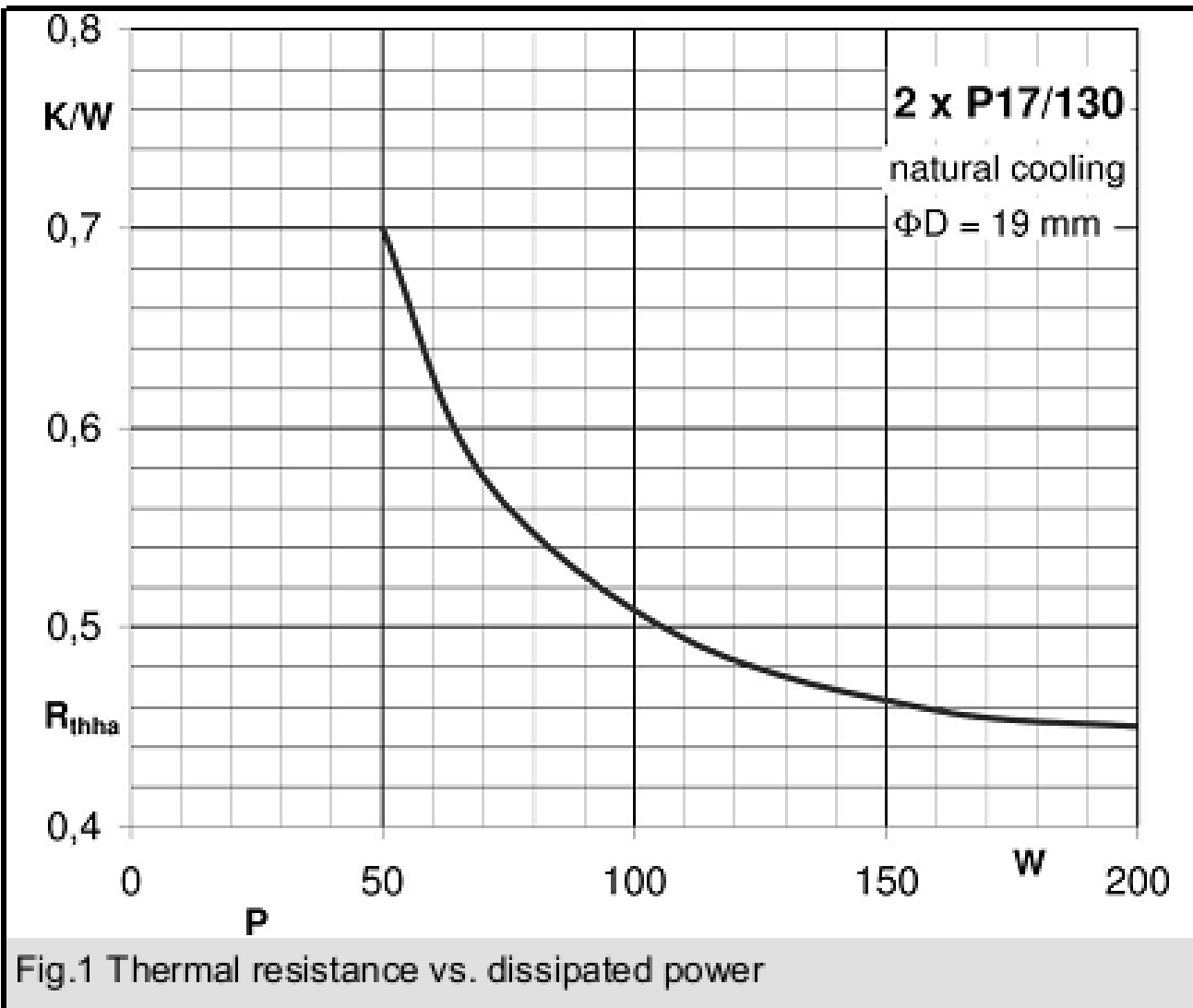
$R_{th(s-a)}$  za hladnjak tipa P17 SEMIKRON dužine 130mm za hlađenje disk tiristora sa dvostranim hlađenjem i pad pritiska  $\Delta p$  između ulaza i izlaza vazduha u funkciji od zapreminskog protoka u vremenu (m<sup>3</sup>/h). ØD je prečnik kontaktnog elementa disk poluprovodničke ćelije



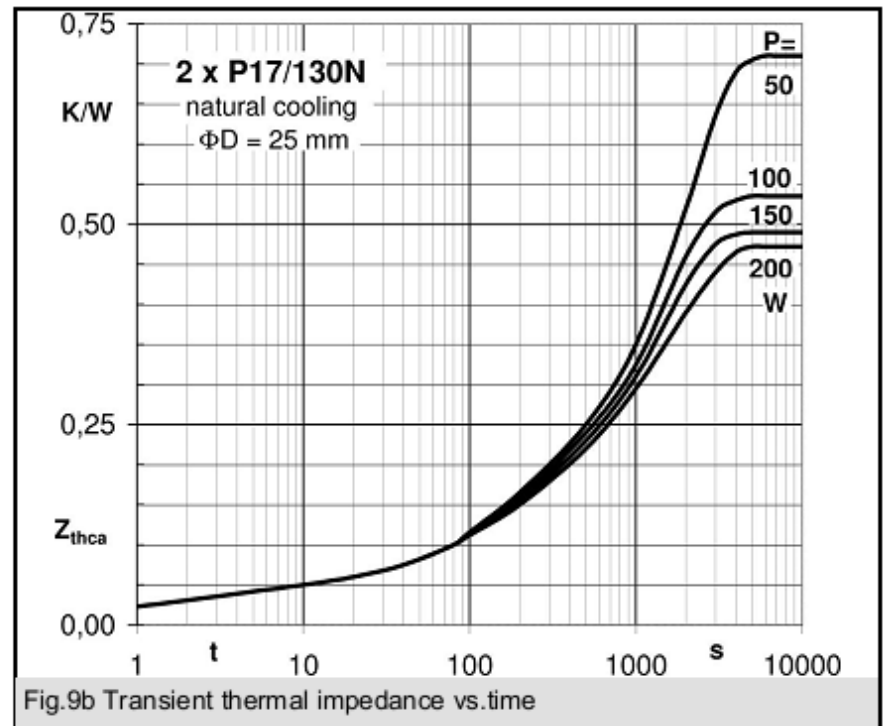
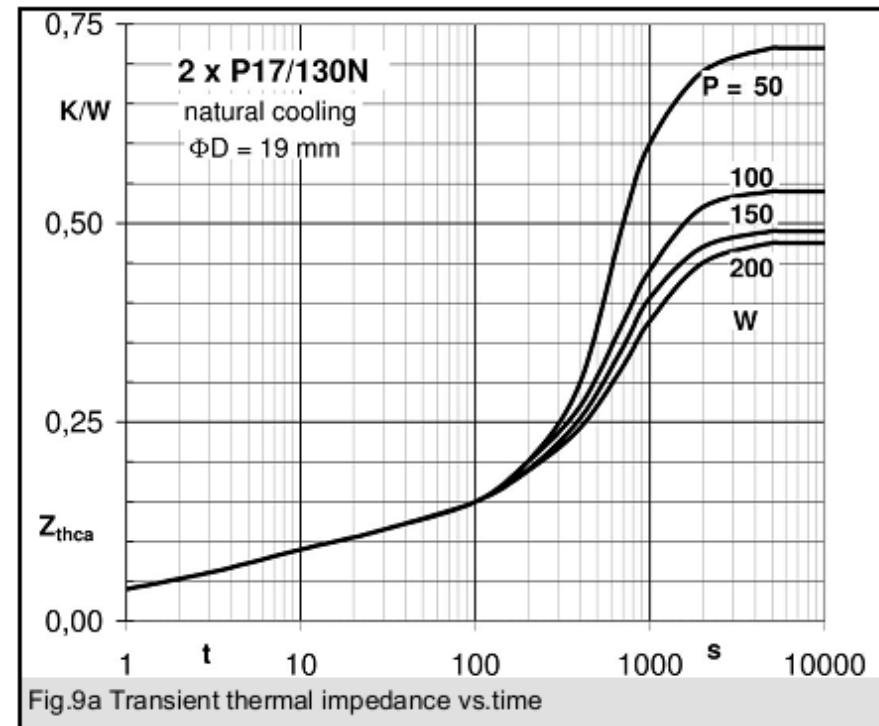
P17 hladnjak  
proizvodnje SEMIKRON



Standard lengths	n	b / d Ø mm	$R_{\text{thha}}$ natural cooling K/W	$R_{\text{thca}} (V_{\text{air}}/\text{t})$ forced air cooling K/W	w kg
2x P 17/130		$19 \pm 1$	0,49 (120W)	0,122 (300 m <sup>3</sup> /h)	3
		$25 \pm 2$	0,48 (120W)	0,1 (300 m <sup>3</sup> /h)	
		$33 \pm 2$	0,47 (120W)	0,085 (300 m <sup>3</sup> /h)	
P 17/130 + 2x P 17/60		$19 \pm 1$		0,175 (300 m <sup>3</sup> /h)	2,9
STACK 1000 (with P 17/130)		$25 \pm 2$		0,14 (300 m <sup>3</sup> /h)	
See Fig. Appl.2		$33 \pm 2$		0,135	38
		$47 \pm 2$		0,122	
				0,115	



Karakteristika prirodnog hlađenja za 2xP17/130



Hladnjak 2x P17/130N -Tranzijentne termičke impedanse za slučaj prirodnog hlađenja i za dve vrednosti prečnika kapsule (diska) 19mm i 25mm

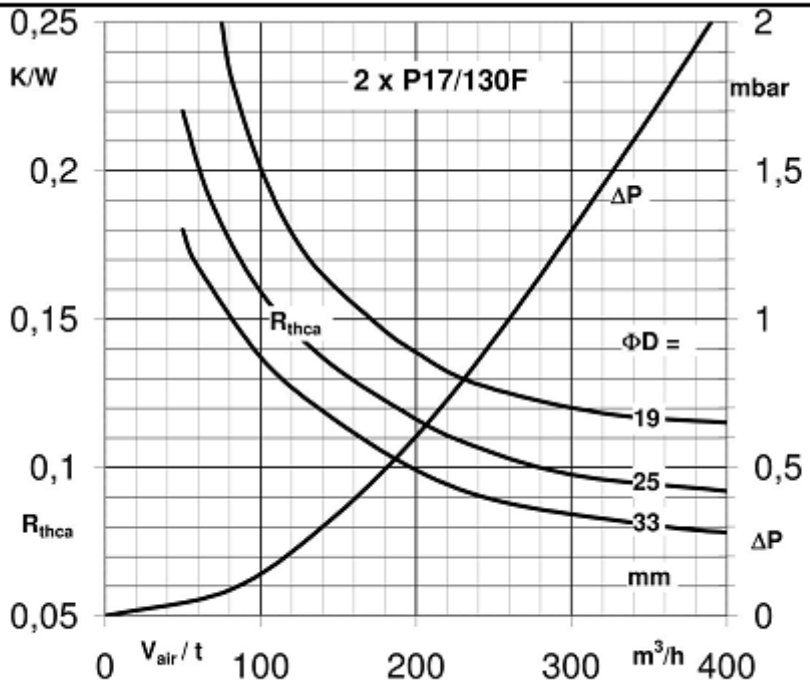


Fig.5a Thermal resistance and pressure drop vs. air flow

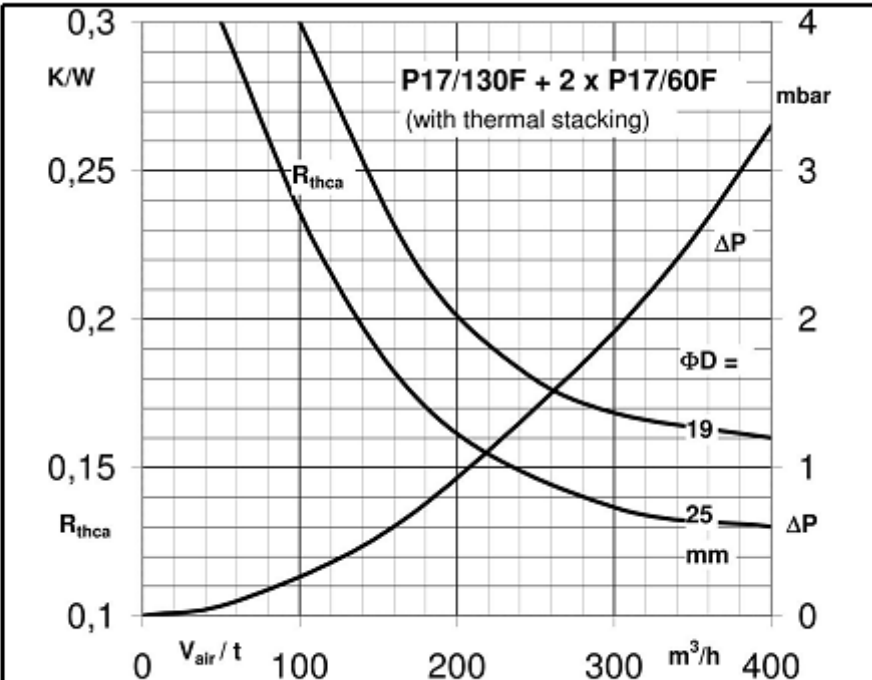


Fig.5b Thermal resistance and pressure drop vs. air flow

## Karakteristike prinudnog hlađenja za P17/130F

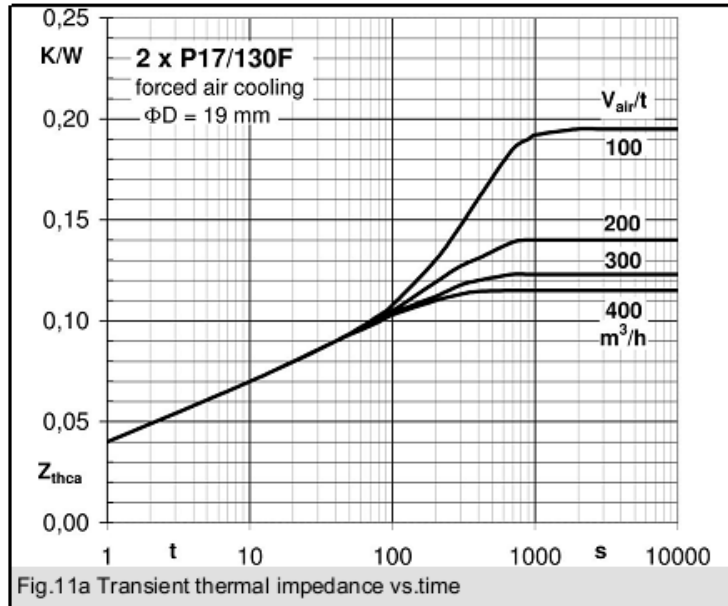


Fig.11a Transient thermal impedance vs.time

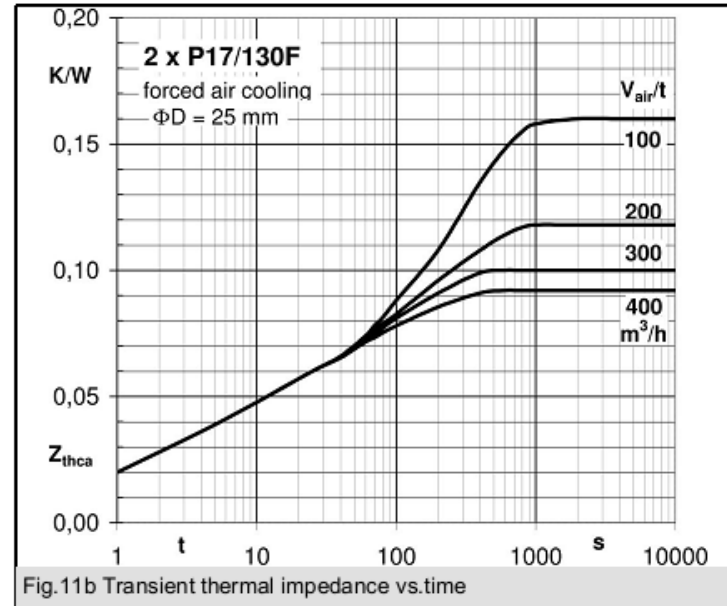


Fig.11b Transient thermal impedance vs.time

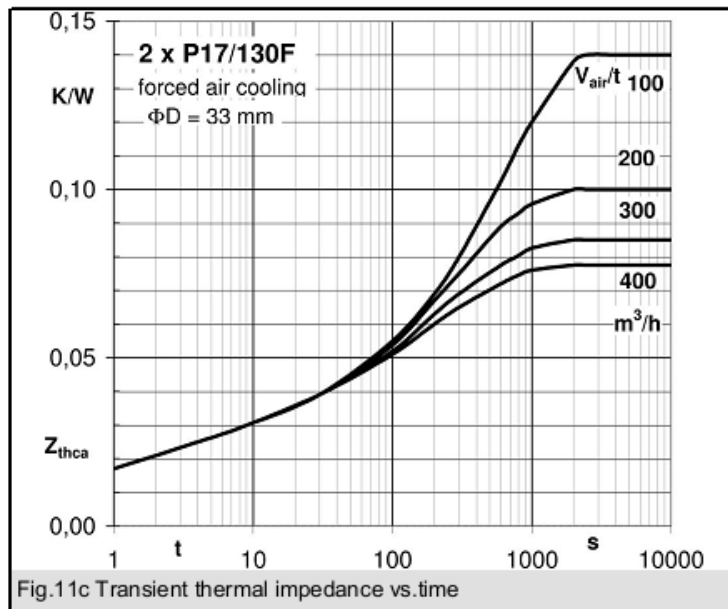


Fig.11c Transient thermal impedance vs.time

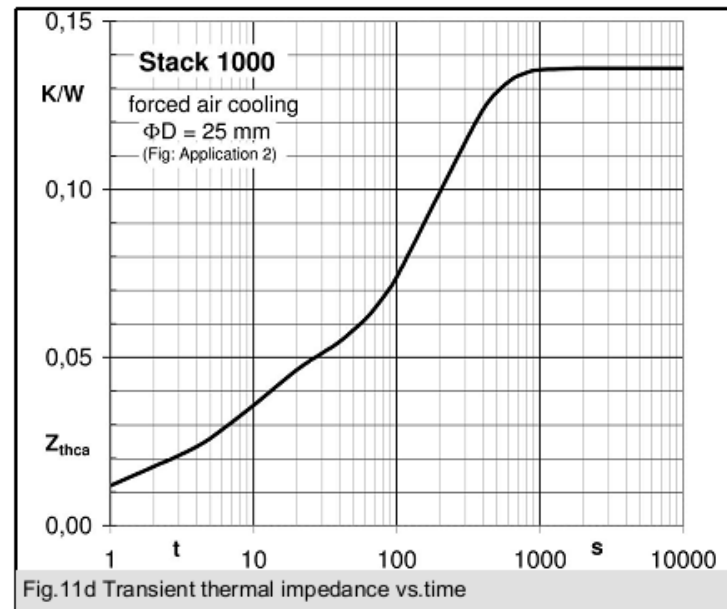
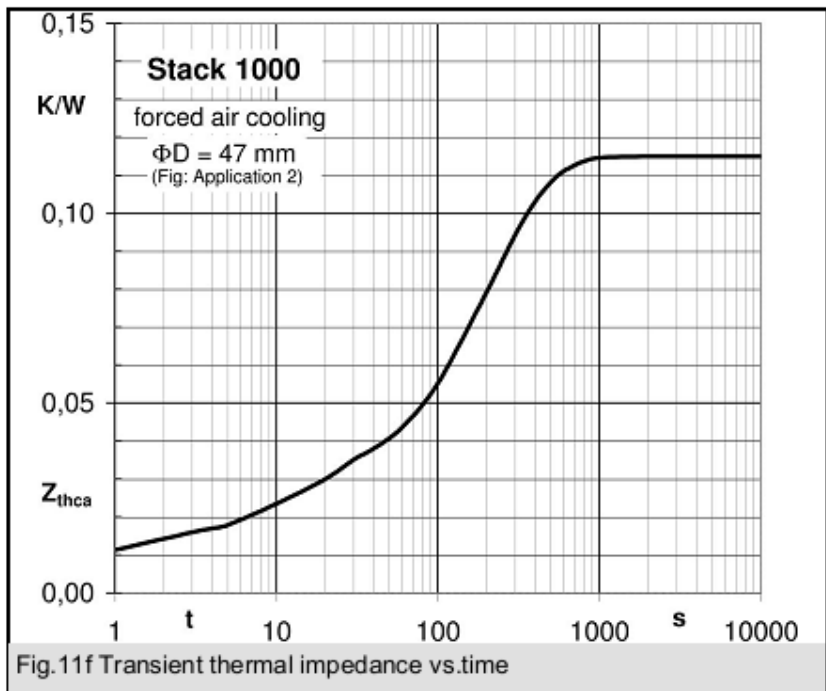
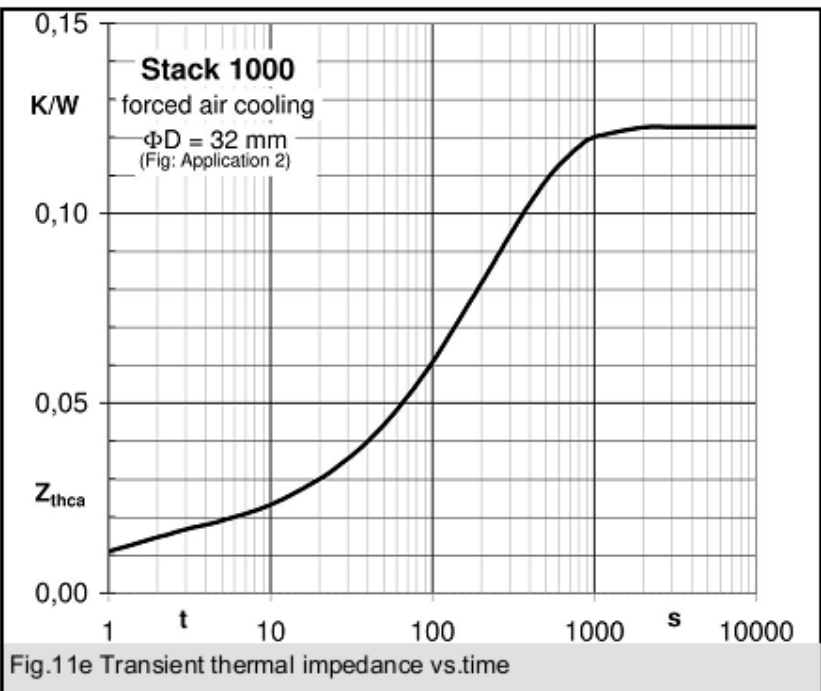
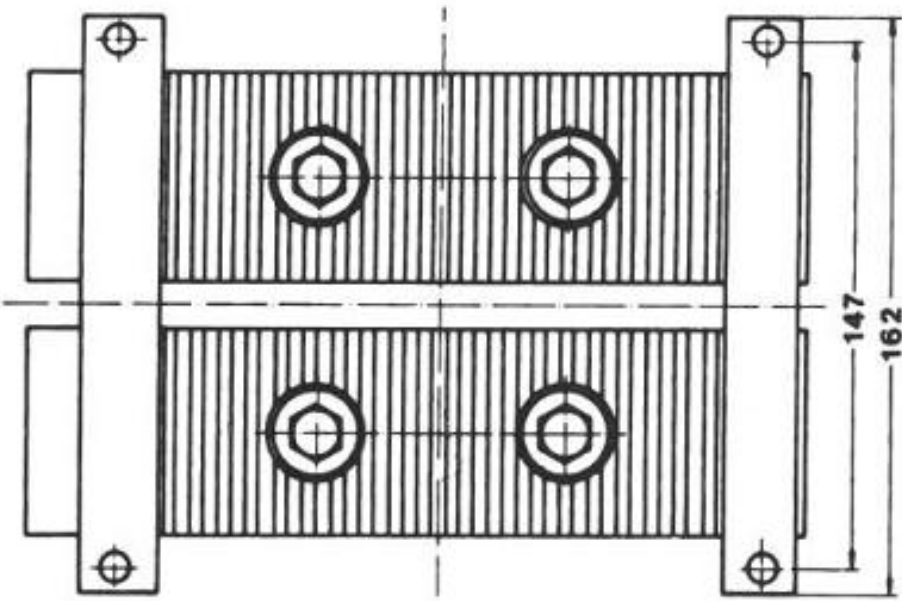
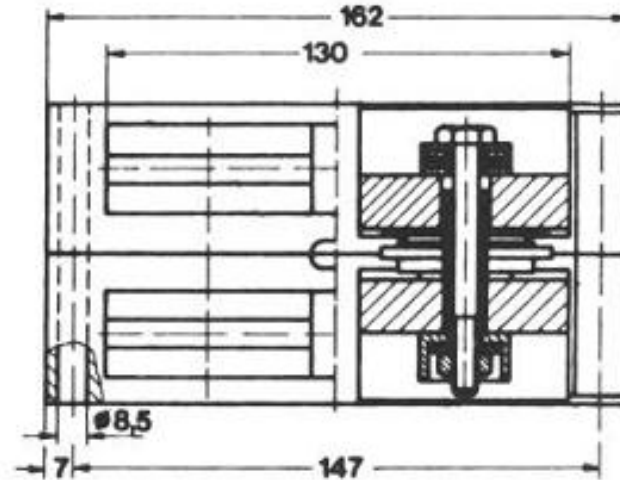
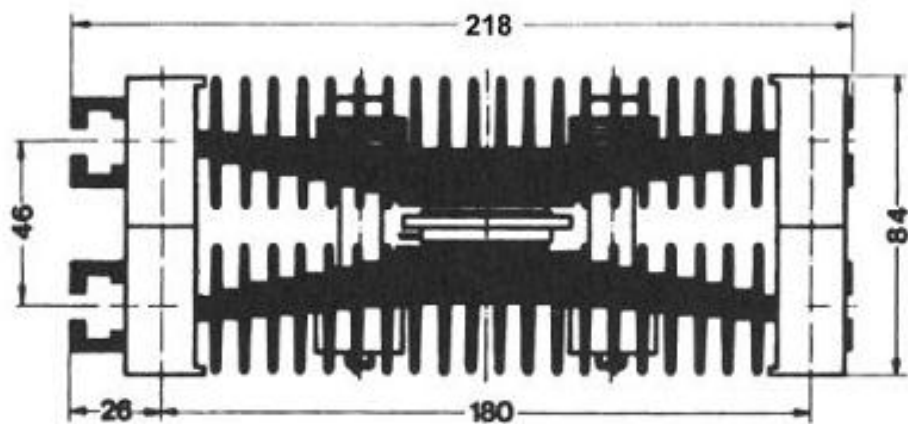


Fig.11d Transient thermal impedance vs.time

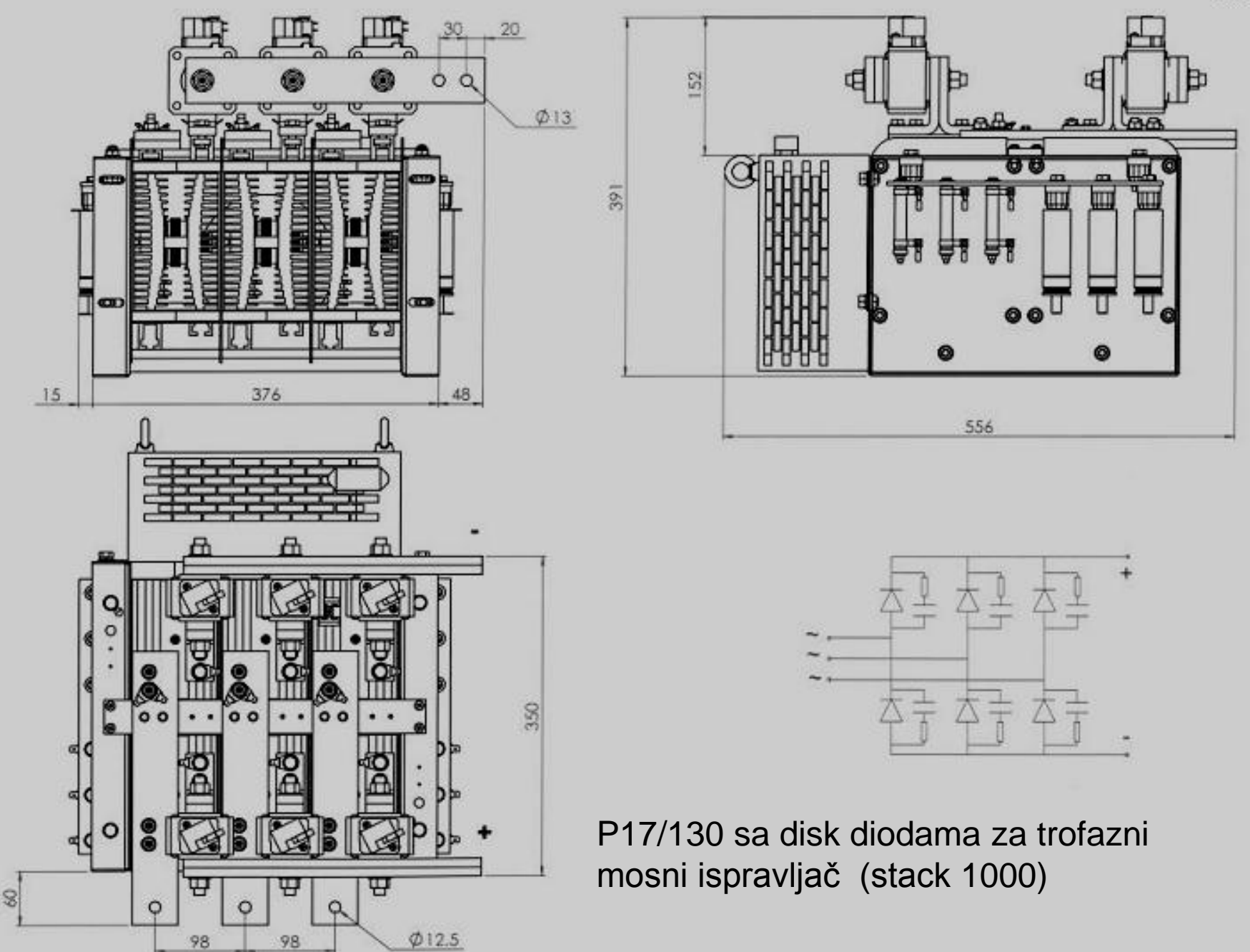
Hladnjak 2x P17/130F -Tranzijentne termičke impedanse za slučaj prinudnog hlađenja



Stack 1000 -Tranzijentne termičke impedanse za slučaj prinudnog hlađenja

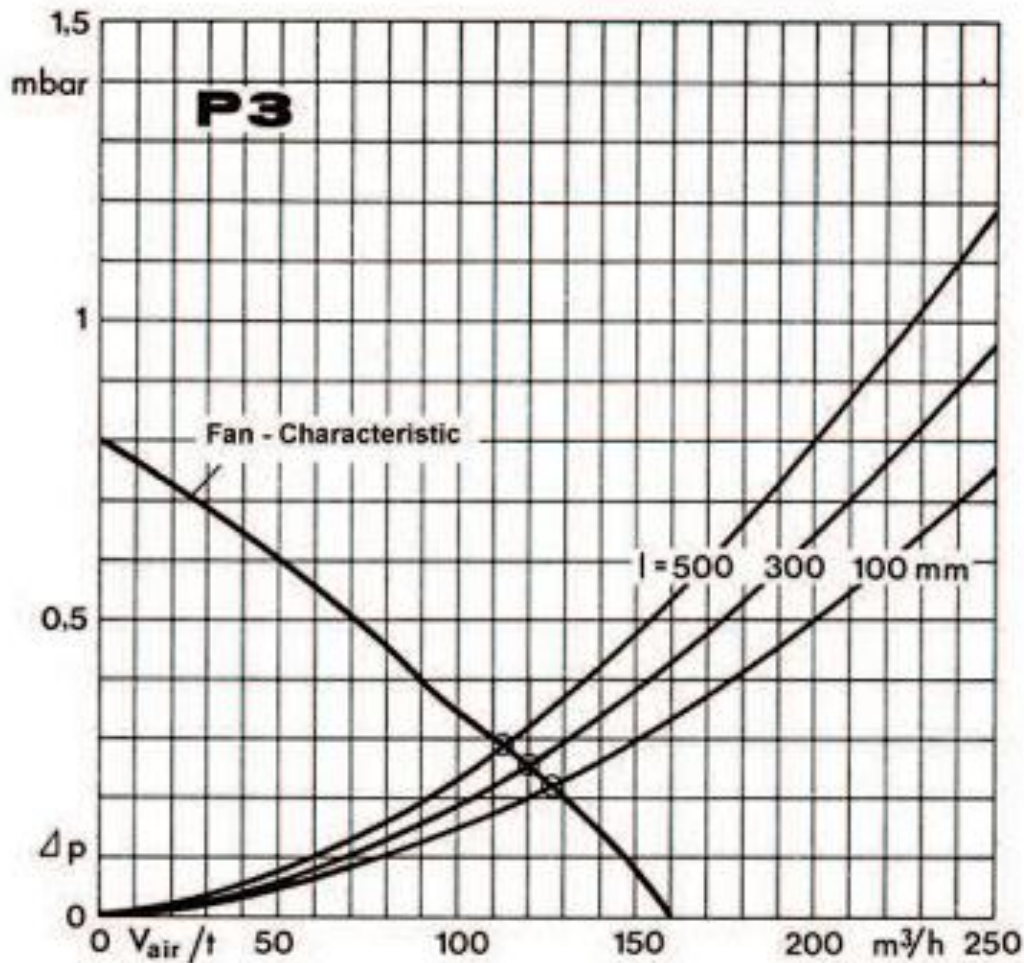


-P17/130 +2xP17/60 sa dve  
kapsule  
-Sve dimenzije su u mm



P17/130 sa disk diodama za trofazni  
mosni ispravljač (stack 1000)

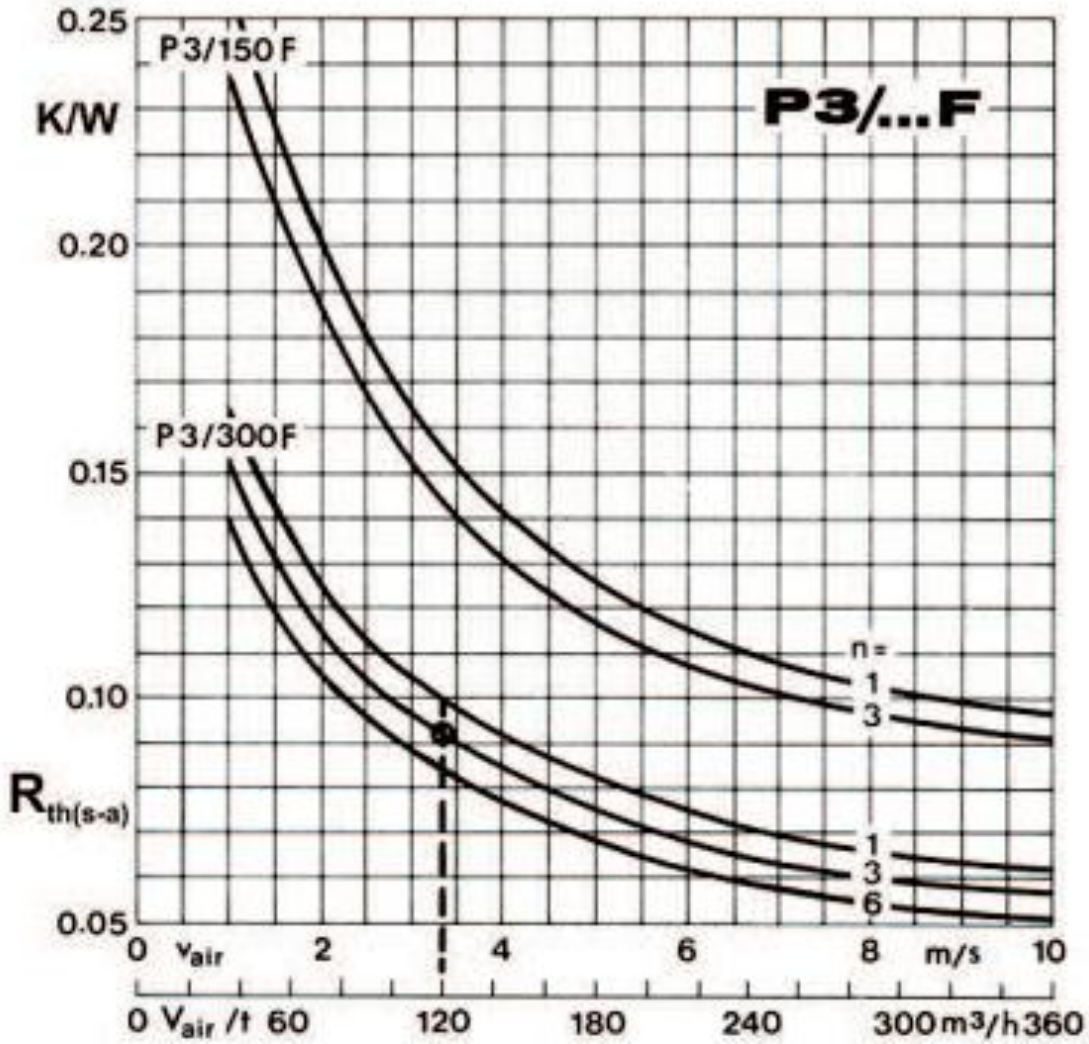
## D) PRIMER ZA PRINUĐENO HLAĐENJE SA HLDNJAKOM P3-Semikron



- Za proračun je bitno odrediti tačku preseka krive ventilatora i krive hladnjaka.
- Ova tačka preseka ustvari predstavlja rezultujući zapreminski protok za datu konfiguraciju ventilator/profil hladnjaka
- Za zapreminski protok od  $120 m^3/h$  i za  $300\text{mm}$  dužinu hladnjaka dobija se pad pritiska od  $0.25\text{mbara}(25\text{Pa})$



Dijagrami koji prikazuju pad pritiska za različite dužine P3 hladnjaka SEMIKRON u funkciji zapreminskog protoka vazduha ( $m^3/h$ ), kao i karakteristiku ventilatora (zapreminski protok vazduha evakuisanog od strane ventilatora u funkciji negativne promene pritiska)  
TAČKA PRESEKA DAJE REZULTUJUĆI ZAPREMINSKI PROTOK ZA OVU KOMBINACIJU



Za profil hladnjaka  
300mm dužine i za slučaj  
montaže tri izvora topline  
(n=3) dobija se termička  
otpornost

$$R_{th(s-a)} = 0.093 \text{ K/W}$$



P3/300F

# LITERATURA

1. A.Wintrich, U.Nicolai, W.Tursky, T.reimann „**Application Manual Power Semiconductors**“- SEMIKRON 2017, International GmbH
2. Eisele, R.; Rudzki, J.; Kock, M.  
"Pressure Sintering for Thermal Stack Assembly", PCIM Europe 2007, Conference Proceedings
3. Bayerer, R. "Higher Junction Temperature in Power Modules – a demand from hybrid cars, a potential for the next step increase in power density for various Variable SpeedDrives", PCIM Europe 2008, Conference Proceedings

HVALA NA PAŽNJI !!!  
Pitanja????

